

МИНИСТЕРСТВО ГЕОЛОГИИ СССР

ДАЛЬНЕВОСТОЧНОЕ ТЕРРИТОРИАЛЬНОЕ ГЕОЛОГИЧЕСКОЕ УПРАВЛЕНИЕ

Г О С У Д А Р С Т В Е Н Н А Я
Г Е О Л О Г И Ч Е С К А Я
К А Р Т А С С С Р

масштаба 1:200 000

Серия Становая

Лист №-52-ХХШ

ОБЕЗЬЯНСКАЯ ЗАПИСКА

Составил В.Ф.Сигов

Редактор И.А.Альбов

Утверждено Научно-редакционным советом ВСЕГИ
12 октября 1972 г., протокол № 20

Москва 1981

С о д е р ж а н и е

	Стр
Введение	3
Геологическая изученность	5
Стратиграфия	9
Интузивные образования	31
Тектоника	47
Геоморфология	55
Полезные ископаемые	59
Подземные воды	72
Оценка перспектив района	75
Литература	79
Список вновь открытых месторождений	83
Список проявлений полезных ископаемых	84

З в е л е н и е

Территория листа № 52-ХУ ограничена координатами 54°00'—54°40' с.ш. и 131°00'—132°00' в.д. Она охватывает бассейн верхнего течения р.Уди и административно входит в состав Тугуро-Чумиканского района Хабаровского края и Зейского района Амурской области. Граница между районами проходит по осевой линии хр.Джиды. Хребет Джиды и его отроги занимают южную северную часть территории, представляющую собой средневысотную горную страну с абсолютными отметками вершин от 1000 до 1427 м и относительными превышениями 300—600 м. Здесь развиты резко очерченные, иногда гольцовье вершины и гребни водоразделов, крутие, нередко покрытые крупногабаритными незакрепленными осипами, склоны.

В центральной части района рельеф заметно выплоскивается и переходит в низкогорный с максимальными отметками над уровнем моря 900—1000 м; относительные превышения уменьшаются до 200—300 м. Вершины гор на этом участке куполовидные или стоговобразные. Водоразделы имеют сравнительно малые стоящие формы и меньшую (до 20°) крутизну склонов. В низовых Удигана и Ульхи на низкогорье постепенно сменяются пологими увалами с абсолютными отметками 320—550 м и относительными превышениями 50—150 м. Для увалов характерна широкая плоские водоразделы и очень пологие склоны, плавно сопрягающиеся с дном речных долин. Правобережье Уди труднопроходимо равнина с большим количеством озер.

В южной части района почти в широтном направлении протекает р.Уда. Это довольно крупная полноводная река, ширина русла которой изменяется от 60 до 150 м, в глубина — от 0,5—1,5 м на перекатах до 3—4 м на пляжах. Река течет в широкой долине, часто

Сдано в печать 9/IV-1981 г.
Тираж 198. Формат 60x90/16

Подписано к печати 2/IV-1981 г.
Уч. изд. л. 5,7 Заказ 0130

Ленинградская картографика

образует меандры, дробится на протоки, разделенные островами.

Наиболее крупным притоком Улы в районе является Ульяна - таиничная горная река со ступенчатым проточным профилем, быстрым течением и большим количеством перекатов. Ширина русла реки непостоянная (от 30 до 100 м), глубина колеблется от 0,5-1 м на перекатах до 2-3 м на плясах. Все оставшиеся реки, исключая небольшие притоки Улы, также носят горный характер, отличаясь бурным течением, многочисленными перекатами и значительными перегородами высот длины долин. Ширина русла этих рек редко превышает 20 м, глубина на перекатах достигает 0,3-0,4 м, на плясах увеличивается в несколько раз. Большинство рек легко проходимы воропом, но после затяжных лождей вода в них сильно поднимается (до 3-4 м) и даже небольшие ручьи становятся опасными для переправы. Спад воды происходит в течение 2-3 дней.

В долинах Улы и Ульянина встречаются эрозионные и термокарстовые озера длиной от 100 до 800 м, при ширине до 100 м. Свежеводного о глубине озер нет.

Для района характерен муссонный климат умеренных широт. Зима суровая, морозная, с ясной сухой погодой. Средняя температура января - 27° X. Весна наступает в апреле. В начале мая становится снег и покрывается реки. Самыми теплыми месяцами являются июль и август (среднемесячная температура +14,5°). В конце сентября выпадает снег. Во второй половине октября замерзают реки и озера. Среднегодовая температура воздуха района -6,2°, что обусловливает широкое развитие многолетней мерзлоты. На склонах северной экспозиции даже в конце лета верхняя граница ее фиксируется не позднее конца июня. Постепенно под почвенно-растительным слоем. Мощность деятельного слоя на южных склонах достигает 1,5-3 м.

Годовое количество осадков колеблется в пределах 570-700 мм, причем 50% их выпадает в летнее время. Климатические особенности района позволяют проводить полевые работы с начала июня по конец сентября.

Растительность типична для зоны тайги. В горной части района широко распространены лиственничные леса, которые могут служить наилучшим источником получения деловой древесины. На пологих склонах увалов и высоких речных террасах в южной части территории, среди лиственничных лесов, встречаются сосновые боры. В долинах, среди лиственничных лесов, встречаются сосновые боры. В долинах, среди лиственничных лесов, встречаются сосновые боры.

*) Метеорологические следения приводятся по данным метеостанции пос. Ульяна.

Линиях рек промарастают лиственные и смешанные леса из ивы, тополя, берески, лиственницы, пихты и ели. На вершинах и склонах водоразделов густые заросли кедрового стланника, ерика, ольхи и рододендрона образуют труднопроходимые заросли. На отдельных участках (между деревнями Гулакчан-Мукута, Баллагачан-Ульяна и др.) архане леса уничтожены пожаром. Горячники густо поросли молодой белой леса и другими дрезесными породами. Проходимость на этих участках, особенно для звериных животных, крайне тяжелая.

Рассматриваемый район совершенно не населен и экономически не освоен. Ближайшие населенные пункты - поселки Экичан и Ульяна расположены соответственно в 140 и 170 км юго-восточнее границ территории. Связь с внешним миром осуществляется вертолетом через пос. Экичан, который связан рейсовыми авиалиниями с Хабаровском и г. Свободным, расположенным на Транссибирской магистрали.

Хорошими посадочными площадками для вертолетов внутри района являются пещечно-тавичниковые косы по Уле и Ульяну, а также в прилегающей части их крупных притоков. По р. Уле и в нижнем течении Ульяна возможно линейное моторных лодок. При проведении полевых работ грузоперевозки осуществлялись вьючными оленями по старым заброшенным либо звериным тропам, имеющимися в долинах почти всех рек и крупных ручьев.

Общаяность района очень неравномерная, но в общем удовлетворительная. Неплохие разрезы архейских, протерозойских и нижнемеловых образований имеются в береговых обнажениях рек Ула, Ульяна, Ульяна и Кукур. Относительно часто разобщенные коренные выходы горных пород встречаются в северной, горной части района. На Уле, в области развития столового рельефа, они крайне редки и геологическое картирование приходится вести по элювиальным и делювиальным обломкам, для вскрытия которых в большинстве случаев необходимо проходить колумы.

Т Е О Л О Г И Ч Е С К А Я И З У Ч Е Н И О С Т Ъ

Долгое время представления о геологическом строении района базировались на материалах Н.С.Меликского [II], который первым посетил бассейн Улы в 1850-1851 гг.

Впоследствии, вплоть до 50-х годов нашего столетия, исследования в пределах района были направлены главным образом на по-

иски месторождений россыпного золота. В 1909-1912 гг. К.В.Грековский [23] в видимых отложениях некоторых притоков Ульяны и Чогара было установлено золото. В 1930-1931 гг. В.И.Серуховым [32] в системе этих же рек были выявлены золотоносные россыпи. Происхождение золота В.И.Серухов связал с наследными кварцем хлоритовыми и серпентиновыми сланцами, эпилектитами и другими породами, образовавшимися при изменении гнейсов. Работы в районе в 1941-1942 гг. продолжил З.В.Фролов [33,34]. Однако за все это время сколько-нибудь значительных в промышленном отношении объектов не было выявлено. Не увеличались успехом и поиски, проведенные в 1966 г. В.Н.Кумельманом [27].

Региональные геологические исследования начались в 1936 г.

когда П.С.Бернштейн [18] провел геологическое картирование масштаба 1:200 000 к востоку от описываемой территории. П.С.Бернштейн, исходя из степени метаморфизма, впервые расчленил метаморфические образования на архейские, нижнепротерозойские и нижнепалеозойские. Среди инструментальных различались протерозойские, ранне-среднепалеозойские и позднепалеозойские интрузии.

Из региональных работ, выполненных к началу геологического картирования района, очень важное значение для понимания геологии зоны Становика-Джулькура в целом и рассматриваемого района в частности имеет труда Д.С.Коринского [6,7,8], Ю.К.Левановского [3,4], В.Н.Моккина [12,28,29] и Н.Г.Судорикова [16,17].

Д.С.Коринский заложил основы стратиграфии и петрологии архея Алданского щита и в целом довольно правильно определил структурное положение геологических образований хр.Станового. Он впервые установил различие между гнейзовыми комплексами этих регионов, считая при этом, что гнейсы хр.Станового — это архейские породы окраины Алданского щита, переработанные древнестановой орогенезом и интрузий древнестановых гранитов. Ю.К.Левановский предложил выделить метаморфические образования хр.Станового в самостоятельный (становый) комплекс нижнепротерозойского возраста, обрамляющий с юга Алданский щит.

В 1952-1955 гг. в бассейнах Ульяны, Мая и других районах восточной части хр.Станового и в хр.Джулькур геологический складчина масштаба 1:1 000 000 провел В.Н.Моккин. На основании собственных наблюдений и обобщения материалов других геологов им было обосновано разделение докембрийских образований на архейские (алданский комплекс), слагающие юго-восточную часть Алданского щита, и нижнепротерозойские (становой комплекс), являющиеся его

прежним складчатым обрамлением. Довольно детально была также разработана последовательность формирования интрузивных образований. В целом, исследование В.Н.Моккина сыграло значительную роль в деле понимания геологии и металлогении восточной части Становика-Джулькура. Все последующие более детальные работы базировались на этих исследованиях, дополняя и уточняя отдельные положения по стратиграфии,магматизму и тектонике района.

Н.Г.Судориков на основе изучения полиметаморфизма в западной части зоны Становика-Джулькура обосновал выделение среди раннепротерозойских образований выступов (тальб) архейского фундамента, переработанных в процессе раннепротерозойской складчатости и метаморфизма.

Важе, при характеристики региональных исследований, речь шла преимущественно о докембрийских образованиях. Однако параллельно изучались и более молодые мезозойские формации. Уже в отчете В.И.Серухова [32] есть указание на наличие в приподлинной части р.Уда толщи конгломератов и песчаников с маломощными прослоjkами каменного угля и многочисленными остатками флоры, скоплением которых, по В.И.Серухову, с широкой Флорой Приорья. Более подробно эти пресноводно-континентальные образования описаны В.Н.Моккиным [28], который в целом правильно подметил характер распределения фаун этих отложений и собрал в них нижнемеловую флору. Среди мезозойских интрузий В.Н.Моккин различал позднепиренские гранитоиды ульского комплекса и позднемеловые лейкократовые граниты.

Большое внимание стратиграфии,магматизму и тектонике мезозойских образований восточной части Становико-Джулькура уделили в своих работах Л.И.Красный [9]. Эффузивы левобережья Уды он объединил в Дальневосточный свиту, внизах которой была найдена позднепиренская-ранненемловая флора. Интрузии ульского комплекса считались ранненемловыми. Формирование их связывалось с мезозойской (ранненемловой) тектоно-магматической активизацией жестких сооружений зоны Становика-Джулькура.

В последнее время полистное геологическое картирование масштаба 1:200 000 в восточной части зоны Становика-Джулькура проводят Дальневосточное геологическое управление. Большим коллективом геологов (Л.П.Карсаков, А.Ф.Васильев, С.М.Благинский, Б.Л.Гордеевич и др.) получен новый материал по геологии этой зоны, который полностью учтен при составлении публикуемых карт и объяснительной записки.

Палеогеологическое картирование площади листа проведено автором в 1966 г. и В.А.Бучинским в 1967 и 1968 гг. При составлении геологических карт и карты полезных ископаемых, кроме материалов предшественников, использованы аэромагнитные и аэрогаммаметрические карты 1:100 000 и 1:200 000 [15,24], результаты гравиметрической съемки 1:200 000 [25]. На все площадь имелись аэрофотоснимки масштаба 1:25 000, фотографии и репродукции найденного материала. Демонстраемость геологических объектов на большей части территории низкая и только на юге, где распространены отложения нижнего мела, — средняя и хорошая (рис. I).

В составлении карты, помимо автора записи, принимали участие В.Е.Чепигин, В.А.Бучинский, В.Ф.Цилов и В.И.Макар. Все анатомические работы проведены в лаборатории Комплексной геологической экспедиции ЦГРУ; спектральные — А.И.Перминов и А.И.Хуровой; химические — Л.С.Луковой, А.П.Михайловой, А.Д.Злыгостевой; палеонтологические — И.Б.Маконтовой, Л.Л.Казачинской и П.И.Батырковой. Определения флоры выполнены палеобиологом М.М.Комменем.

Геологическая карта листа №-52-ХШ полностью увязана с подготовленными к изданию геологическими картами смежных с севера и юга территорий. Но она не увязана с картой, составленной С.М.Брагинским [20], для соседнего с востока района (лист №-53-ХШ). На этой карте инструзия основных иультрабазовых пород показана раннепротерозойской. В настоящее время получены данные об архейском возрасте этих образований. Кроме того, на карте листа №-52-ХШ боконская свита расщеплена на три подсвиты, причем нижняя и средняя подсвиты по своему объему соответствуют нижней и верхней подсвитам, по С.М.Брагинскому. Слой, выделенные на карте листа №-52-ХШ в качестве верхней подсвиты, к востоку от него не распространяются.

Микроклиновые граниты и граносениты ($\text{Y}_4 \text{R}_8, ?$) на которые наложен кремне-кальциевый метасоматоз, С.М.Брагинский считал предположительно палеовулканическими. На карте листа №-52-ХШ они условно связываются с заключительными этапами раннепротерозойского тектогенеза, как это принято в настоящее время [26].

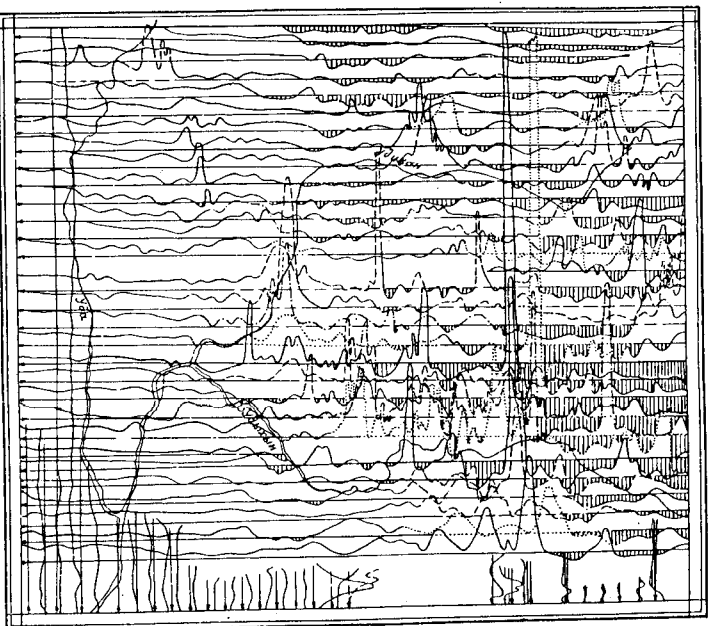


Рис. I. Карта гравифлексов ДТ листа №-52-ХШ 1:50 000

С Т Р А Т И Г Р А Ф И Я АРХЕЙСКИЕ ОБРАЗОВАНИЯ (АР)

В бассейне Эльга и Мурзин, в также в небольших тектонических блоках и останцах края раннепротерозойских и мезозойских интрузий в бассейне Удя-Боконга расположены неравномерно рассланцованные и диморфитированные метаморфические породы, в которых на отдельных участках сохранялись реликтовые парагенетические ассоциации минералов, свойственные

гранулитовой фации метаморфизма. К этим породам приурочены многочисленные согласные тела и зоны синекзических гранитов. Породами ультраметатекститом архейским гранитам являются Алдинского шита. По степени первичного метаморфизма и характеру ультраметаморфических преобразований дифференцированные породы склонны с образованием алдинского комплекса.

В бассейне Удакана и Чогара, в зоне раннепротерозойского складчатого обрамления Алдинского шита, метаморфические образования гранулитовой фации и их дифференцированные разности сматывают выступ архейского фундамента — Чогарское глыбовое поднятие. Западная часть поднятия в пределах рассматриваемого района сложена биотитовыми, гранат-биотитовыми, биотит-роговообманковыми, лавандовыми и гранат-лувусовидными гнейсами, рогово-обманковыми, биотит-роговообманковыми, иногда гранатодержащими, кристаллическими сланцами и амфиболитами. Все эти породы в данном случае, представляют конечные продукты дифференциации архейских образований, первичная природа которых в большинстве случаев остается неясной. В местах, где степень изменения пород несколько слабее, среди дифторитов встречаются реликты архейского субстрата: пироксен-роговообманковые, пумпелексенные, гиперсмен-гранат-роговообманковые, иногда с кальцинистом, гнейсы и кристаллические сланцы. Среди измененных и неизмененных пород встречаются мелкозернистые залежи кремнитов, кальцит-карбонатных, магнетит-амфиболовых, мономинеральных и мусковитовых кварцитов.

Изучение дифференцированных пород включено сопряжено с определенными трудностями, так как не только отдельные образцы, но также поле пачки пород местами похожими на нижнепротерозойские гнейсы и кристаллические сланцы, а недифференцированные породы гранулитовой фации или дифториты, в которых еще сохранялись признаки первично-никльских пород, встречаются сравнительно редко. Поэтому не исключено, что среди архейских пород, особенно в краевых частях Чогарского глыбового поднятия, в отдельных тектонических блоках присутствуют нижнепротерозойские образования.

Разрез архейских пород, составленный по правому приложению р. Мурзиль, выглядит следующим образом:

I. Кристаллические сланцы биотит-роговообманковые, грубополосчатые, полировано инъецированы.

II. Кристаллические сланцы биотит-роговообманковые, грубополосчатые, полировано инъецированы.

Х) Здесь и далее разрезы дочетвертичных образований приводятся снизу вверх, мощность дана в метрах.

Жили породы линзовидно рассланцованны и превращены в отклоны холода-амфиболовые сланцы	350
2. Гнейсы роговообманковые и биотит-роговообманковые, инъецированные жилами амфиболовых гранитов	70
3. Гнейси роговообманковые, гранатизированные, кальцинированные и хордитовые	140
4. Граниты амфиболовые, порфирообластические со скважинами гранитизированных роговообманковых гнейсов	70
5. Гнейсы биотитовые, гранатизированные, иногда гранатодержащие, тонкополосчатые	60
6. Гнейси и кристаллические сланцы роговообманковые, участками рассланцованные и хордитизированные; вверху прослой (0,5 м) премолитовых кальцифириров	200
7. Граниты амфиболовые, порфирообластические с ксенолитами гранитизированных гранат-биотитовых гнейсов	160
8. Пересяживание биотитовых, роговообманково-биотитовых, иногда с реликтами клинопироксена и гранатодержащих роговообманковых гнейсов	90
9. Кальцифирированные полосчатые	10
10. Гнейсы биотитовые и гранат-биотитовые, тонкополосчатые, с прослойками (0,2-0,4 м) роговообманковых кристаллических сланцев	180
Мощность всего разреза без учета гранитов 1150 м.	
С этим разрезом не споставляются разрезы, изученные по р. Учкак и в некоторых р. Эльга [37], что обусловлено не только неравномерным дифференцием пород, но и, по-видимому, общим изменением состава архейской толщи, которое происходит следующим образом. В восточной части территории, в бассейнах Тульчиана и Утавака (Чогарский), доминируют кристаллические сланцы и гнейсы основного состава. Северо-западнее, в бассейне р. Мурзиль, среди них появляются биотитовые и гранатодержащие гнейсы, а еще дальше к северо-западу, по р. Улакан в составе толщи уже преобладают глиноzemистые гнейсы. Возможно, что такая изменчивость определяется блоковой тектоникой: в разных блоках основены различные стратиграфические уровни толщи.	

По текстурно-структурным особенностям и составу породы архей можно разделить на две группы. Первая группа – это веломости диафторитов, содержащие реликты минералов гранулитовой фации, вторая группа – структурно перекристаллизация пород, в которых реликты минералов гранулитовой фации не определяются (составлено диафториты).

Породы первой группы сохранились на отдельных участках среди диафторитов. Хотя они испытывали катаклизм и некоторые минералы преобразования, все же довольно полно характеризует первичный неизвестные буровато-серые, серые с коричневатым оттенком и зеленовато-бурые грубо- и нечетко полосчатые породы, состоящие из плагиоклаза (20-40%), кварца (10-30%), микроклина (35-50%), лиопсина (0-10%), гиперстена (0-5%), буровой и сине-зеленой (развивающейся по пироксену) роговой обманки (5-15%). С этими породами по степенным взаимопереходами связаны роговообманковые гнейсы, являющиеся, по-видимому, продуктом диафторитических преобразований пироксеновых гнейсов. Состав и содержание силикатных минералов в роговообманковых гнейсах аналогичны вышеописанным породам, но количество зеленовато-бурых роговой обманки составляет 15-30%. Она образует неправильные, вытянутые по гнейсовидности зерна с многочисленными включениями рудного материала, апатита, плагиоклаза и кварца.

Пироксен-роговообманковые, пироксен-гранат-роговообманковые и роговообманковые кристаллические сланцы от соответствующих им по названию гнейсов отличаются более мелкократовым обликом и повышенным (обычно до 5%) содержанием кварца.

Биотитовые, гранат-биотитовые, роговообманково-биотитовые и биотит-роговообманковые гнейсы по текстурно-структурным признакам схожи к породам основного состава, но имеют более светлую тону окраски. Они состоят из плагиоклаза № 24-38 (35-60%), кварца (10-30%), микроклина (5-10%), роговой обманки (0-25%), биотита (5-15%). В гранатодержащих разностях присутствует (до 10%) красно-бурый гранат.

Ко второй группе относятся породы, преобразованные в условиях метамортизации. Для них характерна полная или частичная перестройка первичных структур, реликты которых затушеваны более поздним обтачиванием, а высокотемпературные минералы полностью замещены эпигенетическими. Для диафторитов, независимо от их минерального состава, примечательно рассланцевание и разливование; очко-

вые, стебельчатые, волнисто-сланцеватые (от плойчатых до увалочных) текстуры. Ниже приводится минеральный состав основных типов пород этой группы. Биотитовые гнейсы – мелко- и неравномернозернистые породы, состоящие из плагиоклаза (50-70%), микроклина (5-15%), кварца (10-15%), биотита (5-15%) и акцессорных минералов – циркона, апатита, ортита и сфена (суммарно 2-5%). В гранат-биотитовых разностях присутствует розовый гранат (до 10%). В двуслойных гнейсах содержание плагиоклаза уменьшается до 40-60%, количество биотита и мусковита не превышает 15%. Роговообманковые и биотит-роговообманковые гнейсы сложены плагиоклазом (45-60%), микроклином (10-20%), кварцем (10-15%), роговой обманкой (5-15%) и биотитом (0-5%). Кристаллические сланцы весьма разнообразны по составу. У всех состав лейкоократовой части пород довольно постоянен: плагиоклаз (40-45%) и кварц (до 5%). В зависимости от содержания темноцветных минералов различаются роговообманковые (50% амфиболов), эпидот-роговообманковые (30% амфибола и до 20% эпидита), биотит-роговообманковые (5-10% биотита и 20-25% амфибола) и при полном отсутствии роговой обманки – биотитовые и эпидот-биотитовые кристаллические сланцы. Амфиболы темно-серые, зеленовато-серые, иногда черные породы, сложенные роговой обманкой (60-80%), плагиоклазом (10-15%), не всегда присутствуют биотит (до 5%), кварц (до 5-8%), эпидот (до 10%) и единичные зерна граната и пироксена.

Состав и структурные особенности измененных архейских пород свидетельствуют о том, что они в основном являются полиметаморфическими образованиями. Первичный метаморфизм характеризуется парагенетическими ассоциациями гранулитовой фации: плагиоклаз-диопсид-гиперстен-роговая обманка-гранат, гранат-бурый биотит-плагиоклаз. В породах яйцового состава в эти ассоциации входит также кварц и микроклин. Главными минералами, определяющими присущность пород к гранулитовой фации, являются гиперстен, бурая роговая обманка и гранат с высоким содержанием пирита [20].

В диафторитах устанавливаются такие минеральные ассоциации: биотит-гранат-роговая обманка-плагиоклаз-кварц (эпидот) и гранат-биотит-мусковит-плагиоклаз-кварц, что соответствует амфиболитовой фации метаморфизма. Кроме того, в них намечаются парагенетические ассоциации эпидот-амфиболитовой фации: олигоклав-грубоузернистый амфибол-биотит-кварц, олигоклав-биотит-эпидот-кварц и олигоклав-биотит-мусковит-кварц.

Прямых данных о возрасте пород, метаморфизованных в гранулитовой фации, и их диафторированных разностей нет. В пределах юго-

чогарского глинистого поднятия диафрагмы амфиболитовой фации, среди которых сохранились реликты исходных пород, распространены достаточно широко [20, 21, 22]. Как известно, в амфиболитовой фации метаморфизованные образования иннерпротерозойского ставнового комплекса, обрамляющие это поднятие. Кроме того, в харевых частях чогарской глыбы на породы посеместно наложена сланцеватость, ориентированная согласно с направлением складчатых структур нижнепротерозойских свит. В связи с этим представляется, что структурные и диафрагмические преобразования пород Чогарского глибового поднятия связаны с раннепротерозойской складчатостью и изохромами с метаморфизмом ставнового комплекса, что может свидетельствовать о более древнем (архейском) возрасте образования Чогарской глыбы по сравнению со ставновым комплексом. На архейский возраст метаморфических образований гранулитовой фации могут также указывать залегание только среди них палиненные амфиболовые граниты, очень близкие архейским ультраметаморфическим амфиболовым гранитам из Алданского щита.

НИЖНИЙ ПРОТЕРОЗОЙ

В западной части территории распространены гнейсы и кристаллические сланцы, прогрессивно метаморфизованые в амфиболитовой фации. Эти образования по составу, структурному положению, магматизму, степени и характеру метаморфизма отличны от архейских пород Чогарского глинистого поднятия и близки породам ставнового комплекса, широко развитого в западной и центральной частях зоны Становина-Джутикура. По составу и положению в разрезе метаморфические образованияэмфиболитовой фации расщленены на четыре свиты: Нерудинскую, Нергитскую, Тынекскую и Жигиталинскую. Три нижние свиты выделены из соседей с севера территории [26], откуда непосредственно прослеживаются в район.

Нерудинская свита

Нижняя полесьята (PR, пг) сложена сиотитовыми, гранат-сиотитовыми, биотит-сиотитовыми, биотит-ротовообманковыми, гранат-ротовообманково-сиотитовыми гнейсами и кристаллическими сланцами, ам-

фиболитами, двуслюдянными гнейсами, их гранатсодержащими разностями, редко высокоглиноземистыми двуслюдянно-силиманитовыми гнейсами с линзами мраморов, кальцифирированных и полевощапатовых кварцитов. Эти образования распространены в междуречье Эльга-Кукур, в среднем течении р. Удакан и в бассейне р. Арги.

С архейскими образованиями породы подсекуты посеместно гравийчат по тектоническому контакту, поэтому низы разреза невизуальны. Наиболее полно сохранившаяся часть подсекуты вскрывается в береговых обнажениях рек Кукур и Норунда, здесь заляпывают:

1. Переслаивающиеся биотит-ротовообманко-

вые кристаллические сланцы и амфиболиты, в нижней части с прослоями до 1 м гранат-ротовообманко-вых кристаллических сланцев

2. Кристаллические сланцы биотит-ротовообманковые, меланочратовые с прослоями амфиболитов

3. Кристаллические сланцы биотит-ротовообманковые, эпидот-биотитовые, двуслюдянные с прослоями и линзами гранат-амфибол-биотитовых кварцитов, ам-

Фибролитов	• • • • • • • • • • • • • • • • • • • •	380
4. Кристаллические сланцы эпидот-ротовообманково-биотитовые с прослоями биотит-ротовообманковых разностей	• • • • • • • • • • • • • • • • • • • •	100
5. Кристаллические сланцы биотит-ротовообманковые, меланочратовые, плитчатые	• • • • • • • • • • • • • • • • • • • •	250
6. Гнейсы биотит-ротовообманковые	• • • • • • • • • • • • • • • • • • • •	100
7. Кристаллические сланцы биотит-ротовообманковые, с прослоями биотитовых и двуслюдянных кристаллических сланцев и амфиболитов	• • • • • • • • • • • • • • • • • • • •	300
8. Пересяживание биотит-ротовообманковых кристаллических сланцев и гнейсов	• • • • • • • • • • • • • • • • • • • •	375
9. Кристаллические сланцы биотит-ротовообманковые с прослоями гранат-биотит-ротовообманковых гнейсов	• • • • • • • • • • • • • • • • • • • •	175
10. Гнейсы биотит-ротовообманковые, виназ с прослоями гранат-ротовообманково-биотитовых гнейсов	• • • • • • • • • • • • • • • • • • • •	325
II. Гнейсы гранат-ротовообманково-биотито-	• • • • • • • • • • • • • • • • • • • •	75

12. Гнейсы биотит-ротовобоманковые, вверху - прослои гранат-биотит-ротовобоманковых гнейсов	200
13. Пересяживание биотит-ротовобоманковых кристаллических сланцев и гранат-биотит-ротовобоманковых гнейсов	200
14. Гнейсы гранат-ротовобоманково-биотитовые с прослоями ротовобоманково-биотитовых гнейсов	150
15. Кристаллические сланцы биотит-ротовобоманковые с прослоями карбонатных пород	225
Мощность всего разреза 4230 м.	

На других участках распространены преимущественно средняя и верхняя части подсвиты. В отличие от предыдущего разреза, в верхних частях подсвиты количество глиноzemистых тонкополосчатых гнейсов. Содержание амфиболов в разрезе и по простиранию заметно меняется. В отдельных местах (бассейн р.Эльга) они слагают до 10-15% объема верхней части подсвиты.

Полная видимая мощность подсвиты оценивается в 4500 м.

В е р х н я я п о л с в и т а (РР₁ дж₂) в виде полосы шириной около 6 км из верховьев р.Эльга через верховья Ульгана прослеживается в бассейн р.Арги. Она сложена биотит-ротовобоманковыми, ротовобоманково-биотитовыми, реже биотитовыми гнейсами, гранатсодержащими разностями, амфиболитами, эпидот-биотитовыми гнейсами и отличается от нижней подсвиты более меланократовым составом гнейсов, неизменно распространением амфиболов, полным отсутствием карбонатных пород и кварцитов. Высокотинзивные силикатные породы гнейсы для нее также не характерны. Граница между подсвитами обычно нечеткая и проводится по появлению мезо- и меланократовых среднезернистых биотит-ротовобоманковых гнейсов и исчезновению тонкополосчатых биотитовых и гранат-биотитовых гнейсов.

Только на левобережье верхнего течения р.Ульган гравийца между полосами четко устанавливается по разной смене тонкополосчатых биотитовых гнейсов грубозернистым эпидот-биотит-ротовобоманковым гнейсами. Здесь составлен следующий разрез подсвиты:

1. Гнейсы эпидот-биотит-ротовобоманковые, эпидот-ротовобоманково-биотитовые, грубозернистые, на отдельных участках гранитизированные	1000-1100
--	-----------

2. Грубое пересяживание мезократовых средне-зернистых биотит-ротовобоманковых и ротовобоманково-биотитовых гнейсов, внизу редкие прослои (до 5 м) биотитовых и гранат-биотит-ротовобоманковых гнейсов	600
3. Гнейсы гранитизированные, биотитовые, редко ротовобоманково-биотитовые, в основании пачка - линзы амфиболов	225
4. Гнейсы мезо- и меланократовые биотит-ротовобоманковые и ротовобоманково-биотитовые	100
5. Гнейсы ротовобоманково-биотитовые и биотитовые	175
6. Гнейсы ротовобоманково-биотитовые мезократовые, тонкополосчатые	220
7. Гнейсы биотит-ротовобоманковые и ротовобоманково-биотитовые серые, средне- и грубо-полосчатые с редкими прослоями (до 10 м) гранат-биотит-ротовобоманковых и биотитовых гнейсов	450
Мощность всего разреза 2770-2870 м.	

Самые верхи подсвиты мощностью около 300 м, на востоке в этот разрез, характеризуются чередованием тонко- и грубо-полосчатых ротовобоманково-биотитовых и биотит-ротовобоманковых, часто гранатсодержащих, гнейсов, с различными прослоями биотитовых гнейсов, редко линзами амфиболов.

По простиранию состав подсвиты достаточно устойчив. Особенно характерна пачка эпидот-биотит-ротовобоманковых и эпидот-ротовобоманково-биотитовых гнейсов, которая к востоку от р.Ульган почти полностью отмечается в нижах подсвиты.

Мощность верхней подсвиты Нургундинской свиты достигает 3000 м.

Некратская свита (РР₁ дж₁)

Эта свита установлена на ограниченной площади в истоках р.Эльги, верховьев Ульгана и в бассейне р.Уланы. Она представлена ротовобоманковыми, биотит-ротовобоманковыми и ротовобоманково-биотитовыми кристаллическими сланцами и гнейсами, амфиболитами средними (преимущественно в верхах) прослоями и маломощными пачками биотитовых, иногда гранатсодержащих гнейсов.

На нижележащих обрезанных неуритской свите залегает сопластика. Граница между ними устанавливается сравнительно четко и проводится по началу преобладания в разрезе моногранитных тонко полосчатых мелко- и среднезернистых биотит-ротовообманковых и ротовообманково-биотитовых кристаллических сланцев и гнейсов. Этими породами сложена почти вся нижняя половина разреза свиты.

Верхняя часть свиты отличается более пестрым составом, что хорошо видно в верховых р. Утанах, где залегают:

1. Гнейсы биотитовые и ротовообманково-биотитовые, лейко- и мезократовые, тонкополосчатые	200
2. Гнейсы гранат-биотитовые, мезократовые	20
3. Гнейсы биотитовые, реже ротовообманково-биотитовые, тонкополосчатые; линзы амфиболитов	70
4. Гнейсы ротовообманковые и биотит-ротовообманковые, мезо- и меланократовые, тонкополосчатые	100
5. Пересяживание ротовообманковых, биотит-ротовообманковых и ротовообманково-биотитовых гнейсов; линзы амфиболитов; в нижней части пачки прослоем (до 2 м) биотитовых гнейсов	70
6. Гнейсы ротовообманковые, тонкополосчатые	85
7. Гнейсы гранат-биотитовые, гранат-ротовообманковые, мезократовые	15
8. Гнейсы гранат-ротовообманково-биотитовые, ротовообманково-биотитовые тонкополосчатые	70
Мощность всего разреза 630 м.	

Состав свиты повсеместно однобразный. Особенно выдержаны по простирации ее нижние горизонты. Мощность свиты 2000-2200 м.

Тынакская свита (PR₁ t₂)

Эта свита распространена на небольшой площади в северной части района, в верховых р. Утанах. Свита имеет очень пестрый состав, характерно широкое развитие высокоглиоземистых пород. Она сложена биотитовыми, гранат-биотитовыми, биотит-ротовообманковыми

гнейсами и кристаллическими сланцами с прослойями и линзами двуслюдистых, силимандитовых, биотит-силимандитовых, графит-биотит-силимандитовых, биотит-силимандит-гранатовых гнейсов, гранатовых эпифиллитов, мусковитовых кварцитов и кальцифоров. Нижняя граница тынакской свиты в нормальном разрезе проводится по первым прослойям высокоглиоземистых силимандитсодержащих гнейсов.

Полный разрез свиты, составленный Л.П.Карсаковым [26] по р.Утанах, следующий:

1. Кристаллические сланцы гранат-силиманитовые, двуслюдистые, двуслюдино-гранат-силиманитовые	30
2. Гнейсы биотит-ротовообманковые с прослойями (10-20 м) биотит-ротовообманковых кристаллических сланцев	180
3. Кристаллические сланцы биотит-ротовообманковые с прослойями (до 15 м) биотит-ротовообманковых и биотитовых гнейсов	280
4. Гнейсы биотит-ротовообманковые с прослойями (5-30 м) гранатодержащих разностей, биотитовых кварцитов и биотит-ротовообманковых кристаллических сланцев	175
5. Гнейсы ротовообманково-биотитовые с редкими прослоями биотит-ротовообманковых разностей	40
6. Гнейсы биотитовые	80
7. Пачка пересевающихся через 1-10 м гранат-биотит-силиманитовых, гранат-биотит-ротовообманковых кристаллических сланцев, биотитовых и гранат-биотитовых гнейсов	170
8. Кристаллические сланцы биотит-ротовообманковые с редкими прослоями (2-5 м) ротовообманково-биотитовых гнейсов и гранат-биотит-ротовообманковых кристаллических сланцев	165
9. Гнейсы биотитовые, внизу с прослойями (10-15 м) ротовообманково-биотитовых разностей гранат-силиманитовых, биотит-ротовообманковых кристаллических сланцев и биотитовых гнейсов	100
10. Пересяживание (через 2-10 м) графит-гранат-силиманитовых, биотит-ротовообманковых кристаллических сланцев	110

12. Кристаллические сланцы биотит-рого-	
обманковые с маломощными (0,2 м) линиями ам-	
фиброболтов в верхней части	140
13. Гнейсы роговообманковые с прослоями	
рекогниции в кристаллические сланцы . . .	315
14. Гнейсы роговообманковые с прослоями	
гранат-силиманитовых кристаллических сланцев	
и гранат-биотитовых гнейсов	100
15. Гнейсы гранат-биотитовые переслаиваю-	
щиеся в средней части с гранат-биотит-сили-	
манитовыми кристаллическими сланцами	130

Мощность всего разреза 2115 м.

Сравнительно высокое содержание в составе сланца глиновато-

ых силиманитодержащих пород достаточно надежно позволяет уз-

навать ее на всей площади распространения.

Мощность тяжелой сланцы достигает 2100-2200 м.

Дигидальянская свита (PR, dg)

Слита выделена в северо-западной части территории на площади около 2 км². На этом участке коренные выходы горных пород отсутствуют. Судя по лептитовым образованиям, сланца сложена биотит-рогообманковыми, рогообманково-биотитовыми гнейсами, редко встречаются биотит-рогообманковые кристаллические сланцы. Для дигидальянской сланцы совершенно не свойственны гранат- и силиманитоодержащие породы. Поэтому при картировании граниты превалились по использованию этих пород, столь характерных для тяжелой сланцы.

Мощность сланца ориентировочно составляет 700-800 м.

По вещественному составу никель-серозольские породы можно разделить на четыре основные группы: 1) глиноватые и высокоглиноватые гнейсы и кристаллические сланцы; 2) биотитовые и гранат-биотитовые гнейсы и плагиогнейсы; 3) существенно рогообманковые кристаллические сланцы и амфиболиты; 4) существенно рогообманковые гнейсы. Все эти породы отличаются линиями или полосчатыми текстурами и пластическими (гравиблестовыми, лепидобластовыми, нематобластовыми и др.) структурами.

Глиноватые биотитовые, двуслюдянные и гранат-друзовидные гнейсы отличаются "право"-коричневато-серой окраской и тонкогипс-

чатой текстурой. Они состоят из олигоклаза № 25-28 (30-60%), кварца (25-45%), калиевого полевого шпата (2-15, редко до 35%), плексориумштейта в красно-бурах и красных тонах биотита (5-15%), мусковита (0-15%), силиманита и иногда графита (до 1%), граната (0-3%) и акессорных минералов (1%) – циркона, магнетита, апатита, реже ортита и рутила. Высокоглиноватые биотит-силиманитовые, гранат-биотит-силиманитовые, кварц-силиманитовые, графит-гранат-биотит-силиманитовые гнейсы и кристаллические сланцы отличаются от вышеописанных тем, что одним из основных породообразующих минералов в них является силиманит (в том числе и фибролит), содержание которого достигает 25-50%, на отдельных участках – 95-97%.

Биотит-рогообманковые кристаллические сланцы (третья группа) состоят из андезина № 35-40 (40-50%), зеленой и сине-зеленой рогообманки (20-35%), бурого биотита (4-20%), кварца (не более 5-7%), иногда отмечается гранат (до 2%) и эпилот (до 3%). Аксессорные минералы представлены сфеном, альбитом, магнетитом, опалом, реже мицеллитом (суммарно 1-2%). Темно-серые, зеленовато-серые и темно-зеленые обычно груболистистые амфиболиты сложены зеленой или сине-зеленой рогообманкой (50-70%), плагиоклазом № 30-40 (15-25%) и вторичными минералами (10-30%) – хлоритом, эпилитом, карбонатом и кварцем. При уменьшении содержания в амфиболитах рогообманки до 50% и менее они переходят в рогообманковые, а при погружении биотита в биотит-рогообманковые кристаллические сланцы.

Породы четвертой группы – рогообманково-биотитовые, биотит-рогообманковые, рогообманковые гнейсы, плагиогнейсы и их эпилот-и гранатодержащие разности окраинены в серые тона. Это средне- и грубоупосечные породы, сложенные птичником № 26-32 (35-60%), кварцем (10-40%), калиевым полевым шпатом (1-20%), коричневым биотитом (0-15%), зеленой или сине-зеленой рогообманкой (1-25%), гранатом (0-3%) и эпилитом (0-5%). Часто биотит-рогообманковые, реже рогообманково-биотитовые гнейсы имеют состав плагиогнейсов. Содержание калиевого полевого шпата в них не превышает 5%.

Правегенетические ассоциации минералов (кварц-плагиоклаз-биотит, кварц-плагиоклаз-биотит-мусковит, кварц-глинишков-биотит-

силиманит, плагиоклаз-биокновеная роговая обманка-биотит) ука-
зывают, что породы метаморфизованы в амфиболитовой фации.

Диагенетические преобразования нижнепротерозойских пород, в
отличие от архейских, отмечаются только в зонах разломов. Наибо-
льшо интенсивно они проявлялись вдоль Ульыхского разлома, где сре-
ди катаклизированных измененных гнейсов и кристаллических слан-
цев отмечаются зоны шириной до 0,5 км сплошного-хромитовых слан-
цев-блестомионитов фации зеленых сланцев.

Метаморфические образования станового комплекса по отноше-
нию к архею Алданского щита занимают более высокое стратиграфи-
ческое положение [4, 29] и резко отлична от него по характеру ме-
такрифизма и математизации. В восточной части Алданского щита в Май-
накинской структурно-формационной зоне на ардиоризаных образо-
ваниях баготской серии, являющейся аналогом станового комплекса,
заполняют средне- и верхнепротерозойские осадочные отложения [14].
Раннепротерозойский возраст пород станового комплекса подтвержда-
ется и данными определения абсолютного возраста. Для западной
части хр. Станового различными методами получены цифры 1800-150-
2200 млн. лет [2]. В то же время имеются данные, указывающие на
возможно позднедваждыжский возраст пород станового комплекса. В
западной части хр. Станового олеминская серия (возрастной аналог
станичного комплекса) несогласно перекрыта улуканской серией, воз-
раст которой принимается раннепротерозойским. Кроме того, радио-
логический возраст пегматитов, прорывавших улуканскую серию, ра-
вен 2870-2420 млн. лет, что позволяет рассматривать время образо-
вания олеминской серии, а следовательно и станового комплекса, в
западном 2800-2600 млн. лет, соответствующем позднему архею. В
настоящее время верхнедваждыжским становым комплексом считают многие
исследователи [5].

В е р х н и й о т д е л ь ш р с к о й с и с т е м ы

И н и ж н и й о т д е л ь ш м е л о з о й с и с т е м ы

С и с т е м ы Н е р а с ч л е н е н н ы е

Джелонская свита(Д.-К, dt)

Свита обелянит, лапиты, их туфы и лавобрекчи, туфопесчаники, туфоконгломераты, песчаники и алевролиты, уста-
новление в виде небольших изолированных покровов (междуречье
Ульых-Кукур), в тектонических блоках (бассейн р.Мурмы, сред-

нее течение р.Ульыхы) и в виде остатков кровли мезозойских ин-
тузий (район устья р.Сагиа, водораздел рек Мукуна-Этната-Туль-
кан).

Низы свиты наблюдались только в междуручье Ульыхы-Кукур и
в бассейне Мурмы, где она залегает на лекомбритических образовани-
ях. На левобережье Мурмы в нижней части свиты залегает довольно-
мощная (300-400 м) пачка вулканогенно-осадочных пород, которая
быстро выклинивается в северном направлении и уже на правобережье
этой реки, а также в междуручье Ульыхы-Кукур на посттиляции по-
родах лежатся непосредственно лавы. Эта пачка состоит из переслаи-
ваемых через 10-40 м коричневато-серых, реже зеленовато-серых
преимущественно среднеэфирных туфопесчаников, мелкогальванических ту-
фоконгломератов и туфогравелитов, среди которых залегают пласти-
мощности 20-40 м коричневато-серых андезитов. Для пачки приме-
нительна резкая и быстрая фациальная изменчивость, хотя набор по-
род в целом сохраняется. Важе вулканогенно-осадочных отложений э-
басейне р.Мурмы залегают андезиты с редкими маломощными прослон-
ами дацитов. Количество этой, существенно зернистойной, части свиты
составляет 500-600 м.

Наиболее полно вулканогенная часть свиты изучена выше в
сероговых обнажениях р.Ульыхы, где в тектоническом отложении залегают:
1. Лавобрекции андезитов и андезиты 100
2. Андезиты зеленовато-серые, редко пест-
роокрашенные 50
3. Лавобрекции андезитов, зеленовато-се-
рые 5
4. Андезиты зеленовато-серые, коричневато-се-
рые, преимущественно прикосен-рогообманковые,
редко прикосеновые, миндалекаменные 320
5. Агломератовые туфы андезитов 5
6. Андезиты прикосен-рогообманковые 20
7. Агломератовые туфы андезитов 2
8. Андезиты прикосен-рогообманковые, зе-
леновато-серые 15
9. Лавобрекции андезитов и мелковраплан-
никовые андезиты 10
10. Агломератовые туфы андезитов 2
11. Андезиты рогообманковые, миндалекамен-
ные 35
12. Агломератовые туфы андезитов, пестроок-
рашенные 3

Г3. Андезиты пироксен-роговообманковые, зе-	
леновато-серые	14
14. Агломератные туфы андезитов, пестроок-	
раженные	2
15. Андезиты пироксен-роговообманковые, зе-	
леновато-серые	80

Мощность всего разреза 663 м.

Далее выше по р. Ульхин в обнажениях вскрываются дациты, перекрывающиеся с их лавобрекчиями, туфами и, реже, спекающимися туфами. Иногда отмечается маломощные потоки андезитов. В междуречье Этмата-Мукунта-Тулькиан распространены светло-серые и серые дациты, реже их туфы. Андезиты встречаются здесь крайне редко.

Таким образом, с севера на юг происходят изменения в составе синты от андезитов до дацитов. В этом же направлении происходит и расширение андезитов. Если в северной части района это пироксен-роговообманковые, иногда пироксеновые разности, близкие ясно, поскольку синта изучена на отдельных разобщенных участках. По составу к либазам, то есть – плагиоклавые андезиты. Продолжает ли изменение в составе синты в пределах одного стратиграфического уровня или дациты сменяют более высокие горизонты, неясно, поскольку синта изучена на отдельных разобщенных участках. Полная мощность ее ориентировочно оценивается в 900–1000 м.

По удалению от центров извержения описываемый комплекс город, согласно классификации Е.Ф. Малеева, относится к промежуточному зоне, для которой характерно совместное нахождение вулканогенно-осадочных, туфовых и лавовых образований. Вместе с тем, в ряде пунктов установлены образования вулканических керловин. Последние фиксируются палькообразными телами андезитов мощностью от 3–4 до 500 м, выполнеными подводящими каналами (лавобрекчии р. Эльга), либо агломератами и глыбами лавобрекчиями и зруп-тильными брекчиями, сменяющимися лавами с отчетливо выраженной крутонаклонной (не менее 60°) фациональностью (реки Ульхин, Ульхан).

По химическому составу андезиты отличаются от среднего типа, по Дели, несколько повышенным содержанием щелочей, дациты отечают среднему типу, по Дауди (табл. I).

В бассейне Мурила и по р. Ульхин эфузивы альбитизированы, хлоритизированы и карбонатизированы, реже отмечается эпилитизация. В наиболее измененных разностях присутствует низкотемпературный кварц. В этом случае породы обычно лигнитизированы.

Эффузивы бассейна р. Ульхин параллелизуются с Джелонской свитой, с которой они не только близки по составу и строению, но и распространены в одной зоне. Для легильи Становой серии листов геологической карты, а также на 2-ом Стратиграфическом совещании 1965 г. в г. Владивостоке для Джелонской свиты принят позднедвурский – раннелюдовской возраст, что отражено на публичных картах. Однако в настоящее время имеется данные, что Джелонская свита скорее всего позднедвурская. Непосредственно на территории листа N-52-ХУШ эффузивы приурочены раннелюдовыми гранитами и совместно с ними перекрыты нижнелюдовыми отложениями боконской свиты. Их стратотипических разрезов Джелонской свиты известны остатки ископаемой флоры, характерной для верхней юры [1]. Этот возраст подтверждается радиологическими определениями, которые для эффузивов левоберегья р. Уда изменяются от 153 до 183 млн. лет [20, 36].

МЕЛОВАЯ СИСТЕМА

Боконская свита

Н и х и и о т д е л

Вдоль долины р. Уда распространены пресноводно-континентальные отложения, которые по составу, строению и остаткам ископаемой флоры соответствуют боконской свите. По литологическому набору пород или по преобладанию определенной разновидности их в разрезе синту можно расчленить на три подсвиты.

Н и х и я п о л с в и т а (K_{3yc}) в виде полосы шириной 3–8 км от долины р. Тулькиан на востоке, через низовья рек Ульхин и Ульхан, прослеживается в бассейн Колбокана. Для полсвиты характерны равнозернистые, от мелко- до крупнозернистых, полимиктовые песчаники, конгломераты и гравелиты с маломощными прослоями и линзами алевролитов и улистных аргиллитов.

Разрез подсвиты составлен в береговых обрывах р. Ульхин, где на размытой поверхности раннелюдовских лейкократовых гранитов с лежат (разрез приводится в обобщенном виде):

I. Песчаники полимиктовые, среднезернистые, переслаивающиеся через 0,2–1 м с темно-серыми

алевролитами, винеу прослои гравелитов и углистых аргиллитов. В середине пачки содержатся остатки *Macrotaeniopterus californicus* Font et Ward., *Jacutella amurensis* (Novop.) Samul., *Pityorophium ex gr. portenkoioldii* (Heer) Math.,

Sagenopteris sp. 20

2. Конгломераты мелко- и среднегальч.

ные с редкими маломощными (до 0,8 м) прослоями и линзами крупнозернистых песчаников

40

3. Конгломераты мелко- и среднегальч.

с прослоями через 3-4 м средне- и крупнозернистых полимиктовых песчаников мощностью 1-3 м; винеу пласт (0,8 м) темно-серых алевролитов и

линзочки углистых аргиллитов 65

4.

Песчаники полимиктовые, средне- и крупнозернистые с прослоями (1-5 м) и линзами мелко- и среднегальческих конгломератов 80

5.

Песчаники полимиктовые, среднезернистые, с редкими линзами гравелитов и прослоями темно-серых алевролитов с *Stenlis* sp. 25

6.

Песчаники полимиктовые, неизвестно-зернистые, преимущественно средне- и крупнозернистые, серые, желтавто-серые и светло-серые, с линзами гравелитов и прослоями (до 3-4 м) мелкогальческих конгломератов, особенно частых в верхах пачки 200

7.

Конгломераты разногальческие, от мелко- до среднегальческих, с прослоями и линзами песчаников 70

Мощность

всего разреза

500 м.

Примерно аналогичный состав и строение подсвиты имеет по р. Удикан. Но в целом отложения подсвиты по простираннию неустойчивы. В 3-4 км к южному от р. Эльбасекирт песчаники фациально заменяются разногальческими конгломератами и уже в приодинной части р. Тулькичан последние, исключая базальную пачку, явно преобладают в ее составе. Такая же картина наблюдается и к западу от р. Удикан, где 50-60% объема подсвиты приходится на долю разногальческих, от мелко- до крупногальческих конгломератов. Мощность подсвиты равна 500 м.

Средняя подсвита (*K₁b2*) прослеживается параллельно нижней подсвите. Она сложена разнозернистыми, преиму-

щественно средне- и крупнозернистыми полимиктовыми песчаниками с прослоями и линзами конгломератов и алевролитов. Нижняя граница подсвиты довольно четкая и проводится по подошве пачки существенно песчаникового состава, залегающей на конгломератах, вычлененных разрезе нижней подсвиты.

Строение средней подсвиты наблюдалось в береговых обнажениях уда и Ульхиана, где описан следующий схематический разрез:

I. Песчаники полимиктовые, крупнозернистые, желтогалечные, с маломощными линзами гравели-

тов и мелкогальческих конгломератов 80

2. Песчаники полимиктовые, среднезернистые, в верхней части с прослоями (до 0,3 м) темно-

серых алевролитов 30

3. Песчаники полимиктовые, крупнозернистые, с линзами конгломератов 5

4. Песчаники полимиктовые, разнозернистые, преимущественно средне- и крупнозернистые, с линзами гравелитов 5

5. Песчаники полимиктовые, среднезернистые, с линзами конгломератов мощностью до 0,5 м

6. Песчаники полимиктовые, крупнозернистые, желтогалечно-серые, вверх по разрезу переходят в среднезернистые; прослои алевролитов с отпечатками *Stenlis* sp. 280

7. Конгломераты мелкогальческие с прослоями крупнозернистых песчаников 4

8. Песчаники полимиктовые, крупнозернистые, желтогалечно-серые, серые, с линзами и прослоями мощностью до 1-1,5 м мелкогальческих конгломератов 100

9. Песчаники полимиктовые, среднезернистые, постепенно сменяющиеся крупнозернистыми желтогалечно-серыми, реже фиолетовыми и синеватыми песчаниками с прослоями мощностью до 1-1,5, реже 3-4 м мелко- и среднегальческих конгломератов;

прослои алевролитов с *Cleodophlebis argutula* (Heer) Font., *Cladophlebis* sp., *Anozamites angulatus* Heer, *Nilssonia schmidti* (Heer) Sow., N. ex. gr. *orientalis* Heer, N.sp., *Cleopatraea vaselodolii* E. Lebed. 50

Мощность всего разреза 644 м.

В разрезе по р.Ульян, как и в других местах, подсвита сло-
жена преимущественно песчаниками, что свидетельствует об относи-
тельной устойчивости фаций. Мощность подсвиты равна 650 м.

В породах подсвиты очень часто присутствует растительный дет-
рит, но определение остатки флоры, кроме указанных выше, собраны
еще только в одном пункте, на левобережье р.Ульян. Из этого ме-
стонахождения, приуроченного к верхним горизонтам подсвиты, опре-
делены *Solenites pumilus* (Heer) Vahr., *C. turricula* Prun. et
Vassil., *Neilingia amurensis* (Kocher.) Prun.

В южной подсвите (K_3 , b_3) распространена
на юге района, в приподняенной части р.Ула. Состав подсвиты весьма
характерен. Это в основном валуны, крупно- и среднегальчевые,
реже мелкогальчевые конгломераты с единичными прослойками и линзами
гравелитов, песчаников и алевролитов. Нижняя граница проводится
по началу преобразования в разрезе конгломераторов, которые быстро
сменяют нижележащие песчаники.

Строение подсвиты видно в скальных обрывах левого борта дол-
ины р.Ула. В нижней части подсвиты залегает пачка мощностью око-
ло 40 м преимущественно среднегальчевых конгломераторов. Крупно- и
мелкогальчевые разности, а также песчаники образуют редкие мало-
мощные ($0,3-0,5$, реже до 1 м) быстро выклинивающиеся прослой или
лизы. В них залегают разногальчевые, от средне- до крупногальчевых,
валуны в основном крупногальчевые конгломераты мощностью 30-35 м.
Линзы крупнозернистых массивных и кососложистых песчаников встре-
чаются спорадически. Разрез по р.Уле венчается валунами и за-
лужно-галечными конгломератами, переходя с глыбами до 1-1,5, имен-
но даже до 5 м в поперечнике. Линзы песчаников и гравелитов мощ-
ностью до 40 см крайне редки.

Какие-либо изменения в строении подсвиты ниже не наблюда-
лись. Мощность ее составляет 400-500 м.

Обломочный материал пород боковой свиты отличается плохой
сортовой и различной окатанностью. Имеется все переходы от хо-
рошо окатанных гальек и зерен до остроугольных обломков. С умень-
шением размерности кластического материала снижается степень его
окатанности. Обломочный материал составляет от 65 почти до 100,
обычно 80-90% объема песчаников и конгломератов, и 45-70% —
алевролитов. Он представлен всеми встречающимися в районе добо-
конскими породами (различные гранитоиды, гнейсы и кристалличес-
кие сланцы, амфиболиты, габбро, эфузивы среднего и умеренно-кис-
лого состава, пегматиты и др.), а также кварцем, полевым шпатом,
биотитом, роговой обманкой, эпидотом и приоксеноном. Заполнителем

в конгломератах является неравномернозернистый полимиктовый пе-
счаник. В песчаниках тип цементации — соприкосновения и выполне-
ния пор, в алевролитах — базальный и соприкосновения. Цемент гли-
нистый и железисто-глинистый.

Ископаемая фауна, принадлежащая при описании свиты, по заключе-
нию М.М.Копланя, указывает на раннмеловой (неокомский) возраст
имеющихся их отложений.

ЧЕРВЕРТИЧНАЯ СИСТЕМА

Биостратиграфические методы расчленения четвертичных отложе-
ний для бассейна Улы не разработаны, поэтому в основу стратифика-
ции их положен геоморфологический принцип — приуроченность отло-
жений к поверхности определенной эрозии.

Нижнечертинская (?) отложенная
(Q_1), представленные аллювиальными галечниками, песками и суг-
линками, слагают аккумулятивную часть 60-80-метровой поклонной
террасы на правобережье Улы и 30-40-метровой — в верховых Арги.
Из-за плохой обнаженности полный разрез этих отложений не наблю-
дается. На правобережье Улы в верхней части разреза под поклонно-
растительным слоем залегает горизонт мощностью от 0,2 до 1,7 м
коричневато-бурового плотного суглинка, внизу с примесью (до 20%)
песчаных, гравийных и гальванических. Ниже вскрыты галечники и валуны с пе-
счано-гравийным, реже суплинистым заполнителем или серые разновер-
хистые полимиктовые пески с гравием и гальвой, мощностью от 0,4
до 1,5 м. Ниже этого слоя в залегнованном уступе террасы в высот-
ках преобладают песчано-гравийные отложения, что, по-видимому,
указывает на преобладающую роль их в разрезе. В верховых Арги так-
же доминируют галечники и пески. Учитывая наиболее высокое типсо-
метрическое положение описанных отложений, возраст их условно при-
нимается раннечетвертичным.

Среднечертинская отложенная
(Q_2) распространена в долинах большинства рек района на терра-
сах высотой 20-50 м (долина р.Ула) и 12-25 м (долины ее притоков).
Наиболее полно эти отложения изучены в долине Улы, около устья
Гаврики. Здесь до глубины 6,5 м обнаруживаются серые разнозернистые по-
ликтовые пески с примесью мелкой гальки кварца и прослоями,
(0,1-0,3 м) светло-серой супеси. Ниже лежит желтовато-бурым сред-
неравнозернистым песком, содержащим 30-40% гальки размером 2-10 см. В
других местах этот горизонт существенно галечниковый. Видимая мощ-
ность аллювия 11 м.

В горной части района, в долине р.Улкан мощность среднечетвертичных отложений не превышает 3-10 м. Представлены они здесь несортированными рыхлыми галечниками (4,5 м), которые подстилаются песками (2,5 м) с линзами глин. По простиранию горизонт галечников на отдельных участках замещается суглинками с песком (устье руч.Соломенного).

В описываемых отложениях установлена пильца теплолюбивых деревьев [36].

В южной части зортичного отложения (ЮП) довольно часто встречаются в долинах многих водотоков района на террасах высотой 4-6 и 6-12 м. Они представлены галечниками, валунами, гравием, песками, суглинками и супесями. Наиболее характерный разрез для равнинной и низкогорной части района описан на левобережье Улы, в устье р.Балмагачен, где замечают (сверху вниз):

1. Пески серые от тонко- до мелковзернистых, полимитовые, сладистые, плотные	0,35
2. Супесь серая, комковатая слабо окисленная	0,30
3. Галечник и валуны с гравийно-песчаным заполнителем	1,50
4. Коренные породы	

Мощность всего разреза 2,15 м.

В горной части района разрез верхнечетвертичных отложений весьма близок описанному. Так, в устье руч.Три Бродки (приток р.Мурзя) вскрыт (сверху вниз):

1. Песок серый от мелко- до среднезернистого, полимитовый, с линзами супесей и стяжек	0,80
2. Валуны и галечник с песчаником заполнителем; элюву простой и линзы мощностью до 20 см супесей и суглинков	1,2
3. Коренные породы	

Мощность разреза 2 м.

Мощность описываемых осадков ориентировочно оценивается в 2-10 м.

С о з р е м е н н ы е о т л о ж е н и я (ОГУ) — это отложения русел, низкой и высокой поймы, представляющие галечники, валуны, пески, супеси и суглинки, а также залывально-депрессионные и профлювиальные образования. В разрезе высокой поймы р.Улы четко выделяются две фации — пойменная и русловая. Первая

представлена переслаивающимися песками и супесями с линзами и прослоями суглинков. В составе второй фации преобладают валуно-гравийно-галечниковые отложения. В верховых водотоках валуно-материка постепенно снижается, состав его становится более однородным. Пойменная фация в верховых рек обычно отсутствует. Отложения низкой поймы есть в долинах всех водотоков. Они представляют галечниками и валунами, часто перекрытыми малоносным слоем песка. Русловые отложения образованы, гравийным образом, галечниками и валунами с неизначительной примесью песка и гравия, и только в водотоках, текущих в равнинной части района, часто преобладают пески, супеси и илы. Мощность современных отложений в долинах больших рек и крупных ручьев неизвестна. В небольших водотоках она равна 0,5-5 м, иногда до 10 м [27,34].

Наличие галечников из отложений поймы характеризует растительность, похожую на современную.

Эрозионально-делавильные образования развиты повсеместно. Их состав и мощность зависят от состава коренных пород, крутизны и экспозиции склонов. Обычно это круплообломочные и глинистые образования с присеянной песчано-суглинистого материала, в местах разбитых мезозойских гранитов — щебень и дресва, участками глыбы. В южной части района, где распространены отложения Богонской свиты, делавий представлен небольшими плитчатыми обломками, щебнем, песком и супесчано-суглинистым материалом. При разрушении контломератов образуются россыпи гальки. Мощность отложений колеблется от 1 до 5, редко 4-5 м.

Протививальные образования слагают конусы выноса в устье небольших водотоков и сухих распадков. Они представлены несортированными глыбами, щебнем, супесями и суглинками. Мощность этих отложений неизвестна. В устье некоторых распадков она достигает 5-8 м.

И Н Т Р У З И В Н Й Е О Б Р А З О В А Н И Я

В геологическом строении района интрузионные породы и сходные с ними по составу ультраметаморфические и метасоматические образования играют весьма существенное значение. Наиболее распространены разновозрастные гранитоиды, маулье — породы группы габбро-перidotитов. В зависимости от времени формирования выделяются архейские, раннеродезийские, раннемеловые и позднемеловые (?) интрузии.

АРХЕЙСКИЕ ИНТРУЗИИ

Габбро-амфиболиты, амфиболиты, пироксениты, перидотиты и оливиниты (№ А 1) в междуречье Ульхан-Мурлы, Эльта-Сатыма и в среднем течении р. Ульхан образуют линзовидные и пластообразные тела различных размеров (максимальная длина до 8, ширина до 1–1,5 км), сопоставимые с эмбрионами архейскими образованиями. Секущие контакты между ними не наблюдались.

Большинство тел сложено габбро-амфиболитами и амфиболитами, которым подчинены ультраосновные породы. Только в массиве по р. Ульхан, ниже устья р. Куюр, последние пользуются преимущественным распространением.

Большинство из нихено габбро-амфиболитами и амфиболитами, которым подчинены ультраосновные породы. Только в массиве по р. Ульхан, ниже устья р. Куюр, последние пользуются преимущественным распространением.

Габбро-амфиболиты – это темные с зеленоватым оттенком массивные и грубогнейсoidные породы с областями базитовой и бластофибитовой структурой. Составляет она из плагиоклаза (от лабрадора № 55–60 до олигоклаза № 25–27) – 28–60%, сине-зеленой роговой обманки – 15–25%, базальтической роговой обманки – до 8% и пироксена – до 5%. Аксессорные минералы (около 8%) – титаномагнетит, апатит, сфен; вторичные – амфибол, хлорит, эпидот, серидит, биотит, лейкоксен, иногда албит, кварц и карбонат. Амфиболиты связаны с габбро-амфиболитами постепенным переходом. Для них характерна четкая плоско-парALLELьная текстура, нематогранобластовая и нематобластовая структура. Они сложены в основном амфиболитом (55–90%) и соссортитизированым плагиоклазом (5–35%).

Пироксениты – плотные, тяжелые, мелко- и среднезернистые породы с панцироморфозернистой, участками сидеронитовой структурой. На 80% порода состоит из амфибилизированного моноклинного пироксена и на 15–20% из титаномагнетита. Перидотиты внешне и по текстурно-структурным особенностям не отличаются от пироксенитов. Минеральный состав их: моноклинный пироксен (15–20%), оливин (75–80%), магнетит и сульфиды (до 5%); вторичные минералы – серпентин, карбонат, треполит, биотит. Оливиниты имеют панцироморфозернистую с элементами пелетьчатой структуры и состоят из оливина, замещенного агрегатом серпентина, гаулка, карбоната, рудного минерала и лейкоксена.

На левобережье Ульхана и в верховых руч. Аномального, в зоне Ульханского разлома описываются породы подвергшиеся интенсивному краинно-краевому метасоматозу, что привело к соразмерению на отдельных участках неравномерно-зернистых и крупнозернистых кварц-минеральных и микроклиново-кариевых метасоматитов, состоящих из микроклина, альбита, квадра. Тёмноцветные минералы полностью замещены биотитом.

Интраузии основных и ультраосновных пород выявляются только архейскими метаморфическими образованиями и секущими архейскими амфиболовыми гранитами. С габроидами связаны проявления желеаз (0,5–3 км²) удлиненных тел, ориентированных строго согласно с эмбрионами архейскими породами. Эти тела имеют сложное строение и зачастую содержат различные по форме и величине реликты метаморфического субстрата. Границы тел, как правило, нечеткие, расплывчатые, что обусловлено интенсивной гранитизацией и магматизацией взаимствующих пород. Ширина ореолов магматизации достигает 1–1,5 км (правобережье р. Сатыма). В частности, в качестве отдельных тел на геологической карте показаны участки, где жилы и прожилки гранитов резко преобладают над эмбрионами образованиями.

Диаграммы жил гранитов мощностью от нескольких сантиметров до первых десятков метров среди архейских пород встречаются повсеместно. Контакты их с кристаллическими сланцами основного состояния четкие, а с гнейсами – постепенные, с переходом через гранитизированные разности и теневые штатмиты. В краевых частях жил, застягивающих среди гранатсодержащих гнейсов, отмечается реликтовая зерна граната. Для крупных жил гранитов характерно гетерогенное строение. Участки, сложенные лейкократовыми породами, без видимой закономерности чередуются с участками, где гранит обогащенны гнейзодообразными или цепочковидными скоплениями биотита, серые граниты сменяются розовыми, крупнозернистые – мелкозернистые или неравномернозернистые.

Граниты представляют собой мелко-, средне- и крупнозернистые породы из розового, розово-серого, редко светло-серого цвета со своеобразным фиолетовым или сиреневым кварцем. Текстура их полосчатая, структура пегматобластовая, порфиробластовая, иногда

х) Граниты разных фаз в районе не установлены.

с элементами глыбобластовой. Минеральный состав – кальцитовый пегматит (40–60%), кварц (30–40%), олигоклаз (до 20%), биотит (2–7%). Состав цветного минерала в гранитах зависит от состава вмешанных пород. В периферических частях тел, залегающих среди биотит-роговообманковых кристаллических сланцев и гнейсов, в гранитах появляется роговая обманка, среди гранатодержащих полевицита.

Альбитовые граниты залегают только среди архейских пород и в более молодых образований не встречаются, что, вероятно, обусловлено тем, что в альбититах Альбигского щита, может указывать на архейский возраст этих гранитов.

Взаимоотношение гранитов с вмешанными породами, текстурно-структурные особенности и другие признаки свидетельствуют о палеогенетическом происхождении гранитов.

РАННЕПРОТЕРОЗОЙСКИЕ ИНТРУЗИИ

Граниты биотитовые, гнейсояйные ($Y_2 R_1$) образуют небольшие, площадью от 2 до 12 км², тела в междуречье Ульяна-Арга, на левом берегу Ульяна и в бассейне Эльги. Кроме того, многочисленные согласные между этими гранитами мощностью до 100 м интенсивно, особенно среди лейкоцитовых гнейсов, находит разрез нижнего протерозоя. В образованиях другого возраста гнейсояйные граниты не встречаются.

Вмешанные породы на контакте с гранитами интенсивно гранитизированы и магматизированы. Переходы между ними постепенные и осуществляются через зоны послойных и теневых магматитов шириной до 0,5–1 км. В самих телях гранитов обычно отмечаются небольшие складки и даже цепочки гнейзов. Ориентировка гнейсояйности гранитов всегда совпадает с ориентировкой полосчатости вмешанных пород и складок.

Граниты – светло-серые мелко- и среднезернистые породы с хорошо выраженной гнейсояйной текстурой, обусловленной плоскостно-параллельным и линейным расположением биотита. Они характеризуются гранобластовой структурой и состоят из олигоклаза # 18–23

(15–45%), кальциевого полевого шпата (20–40%), кварца (30–45%), биотита (2–7%). Состав цветного минерала в гранитах зависит от состава вмешанных пород. В периферических частях тел, залегающих среди биотит-роговообманковых кристаллических сланцев и гнейсов, в гранитах появляется роговая обманка, среди гранатодержащих полевицита – гранат.

Тесная пространственная и структурная связь описываемых гранитов с вмешанными нижнепротерозойскими породами, наличие вокруг них широких ореолов гранитизации и магматизации, присутствие внутри гранитов скапилотов метаморфического субстрата и гранобластовых структур указывают на палеогенетическое происхождение гранитов, сформировавшихся в основной этап раннепротерозойской складчатости в связи с процессами ультратектоморфизма. Аналогичные граниты широко распространены к западу от рассматриваемой территории, где они впервые были выделены Д. С. Коржинским [6] в составе древнейшего комплекса. Раннепротерозойский возраст гранитоподобных тел комплекса в настоящее время признается большинством исследователей зоны Становища-Дугижкура.

Кварцевые диориты и диориты биотит-роговообманковые, гнейсояйные ($D^1 R_1$) известны в бассейне Арги, в верховье Ульяна и на правобережье Эльги. Они образуют относительно крупные, площадью до 30–150 км², массивы и многочисленные небольшие (1,5–3 км) тела и жилы мощностью до 100–200 м, залегающие среди раннепротерозойских, в единичных случаях среди диабазированных архейских образований. Массивы кварцевых диоритов и диоритов имеют неправильную, но всегда удлиненную, нередко дугообразную в плане форму и ориентированы согласно или субсогласно с раннепротерозойскими складчатыми структурами.

Контакты тел с вмешанными породами, как правило, четкие и обычно согласные. Близи контакта в диоритах отчетливо проявлена гнейсояйность, совпадающая с ориентировкой полосчатости в гнейсах. Случаи контакта, обычно срезающие вмешанные породы под острым ($10-20^\circ$) углом, фиксируются редко. Близи контактов минералы залегают и гранитизацией вмешанных пород совершенно не проявлены. В эндоконтакте интрузионных частях встречаются ксенолиты гнейсов. Они имеют четкие ограничения, размер их изменяется от нескольких сантиметров до первых десятков метров.

Крупные массивы сложены довольно однородными биотит-р. ... вмешанными диоритами, их кварцевыми и кварцодержащими разностями, которые связаны между собой постепенными переходами и не обнаруживают заметной закономерности размещения в массиве. Это сен-матитическая активизация.

рие, зеленовато-серые и тано-серые породы, крупнозернистые, кото-
рою порфироидные, с гнейсовидной, реже массивной текстурой, слас-
тогипсоморфно-зернистый, гипидиоморфно-зернистый и гранобласто-
вой структурой. Диориты состоят из зонального плагиоклаза
№ 40-48 (50-70%), роговой обманки (18-20%), биотита (10-15%);
кварца (до 2%) и акцессорных минералов (до 4%) – сфена и апатита.
В кварцодержащих диоритах количество кварца увеличивается до
5-7%, а в кварцевых – до 10-15%. Породы насыщены феномезом,
белым щелочами и соответствуют диоритам, по Дэли (табл. I). Типич-
ные структуры магматической кристаллизации в сильно измененных раз-
ностях, отсутствие магматизации исчезающих пород свидетельствуют
об интрузивном происхождении кварцевых диоритов.

Кварцевые диориты и диориты прорывают раннепротерозойские
кристаллические сланцы и гнейсы, магматизированные и гранитизи-
рованные древнестановыми гранитами, и, в свою очередь, прорваны
раннепротерозойскими лейкократовыми гранитами и плагиогранитами.
Гранодиориты, диориты биотит-роговообманковые, роговообман-
ково-биотитовые, гнейсовые (γ_3 РЛ.) образуют несколько не-
больших тел в междуручье Эльга-Кукур и в бассейне Нерулы. Они
вмешиваются в нижнепротерозойские метаморфические образованиями.

Интрузии сложены преимущественно гранодиоритами, более ос-
новные породы встречаются обычно в краевых частях массивов. Так,
в бассейне Кукура в эндоконтактовой зоне шириной около 300 м раз-
виты слабо порфироидные кварцевые диориты, которые к центру мас-
сива постепенно сменяются неравномернозернистыми, средне-крупно-
зернистыми слабо гнейсовидными, почти массивными гранодиоритами.
Аналогичная картина наблюдалась и в междуручье Эльга-Кукур.

Гранодиориты отличаются бластогранитной и бластогипсико-
морфно-зернистой структурой, гнейсовой или массивной текстурой.
Они состоят из плагиоклаза № 20-22 (45-60%), кварца (20-25%) ка-
лиевого полевого шпата (10-15%), роговой обманки (2-8%), биотита
(2-14%) и акцессорных (до 5%) – сфена, рутилого минерала, апатита,
циркона и ортита. Диориты и кварцевые диориты практически не от-
личаются от вышеописанных аналогичных пород. Для гранодиоритов и
диоритов характерно почти повсеместное присутствие эпилита.

В пределах листа № 52-ХIII взаимоотношения гранодиоритов и
диоритов с другими раннепротерозойскими интрузиями не выяснены.
Учитывая постепенные переходы между гранодиоритами и диоритами,
первые считались финальной разновидностью раннепротерозойской
интрузии кварцевых диоритов и диоритов [36]. Однако Л.П. Карсако-
вым [26] на соседней с севера территории установлено, что жиль

гранодиоритов прорывают кварцевые диориты и диориты (δ^1 РЛ.) а
сами гранодиориты прорваны раннепротерозойскими двуслоистыми гра-
нитами. Это позволило Л.П. Карсакову выделить гнейсовые грано-
диориты и диориты в качестве самостоятельной фазы раннепротеро-
зойских интрузий.

Граниты, лейкократовые (γ_3) плагиограниты (γ_0) лейкокра-
тевые, мусковитовые, двуслоистые, реже биотитовые, гнейсовые
(γ_3 РЛ.) образуют трещинные тела, примурченные к разломам северо-
восточного и субширотного направления. Эти граниты развиты в
верховьях Тулькичана, в бассейне нижнего течения Уликана, на пра-
вобережье Нерулы и в других местах.

В нижовых Уликана граниты приурочены к Нижне-Уликанской зо-
не разломов, разделяющей выходы архейских и раннепротерозойских
образований. Массив гранитов площадью около 200 км² вытянут в
северо-восточном направлении. Контакты его с вмещающими породами
четкие, резкие. В эндоконтакте интрузии и последних изменения не
замечены. В пределах массива двуслоистые, мусковитовые и биотито-
вые граниты без видимой закономерности постепенно переходят друг
в друга. В краевых частях массива иногда развиты калиевозернистые
гнейсовые граниты.

В верховьях Тулькичана массив сложен однообразными средне-
зернистыми, редко крупнозернистыми массивами и слабогнейсовидны-
ми лейкократовыми плагиогранитами. Вдоль южного контакта здесь
развита краевая фауна – мелкозернистые плагиограниты.

Джусличные, мусковитовые, биотитовые граниты и плагиограниты.

Ты часто, особенно вблизи крупных массивов, встречаются в виде

согласных и секущих жил мощностью до 200-300 м.

Граниты и плагиограниты представляют собой мелко-, средне-
и крупнозернистые белые, светло-серые и розоватые породы масси-
вной и гнейсовой текстурой. Структура их гипидиоморфно-зернистая,
гранитовая, катаклазическая, иногда криптоизометрическая. Граниты имеют сла-
бужий состав: плагиоклаз № 16-25 (50-55%), калиевый полевой шпат
(25-35%), кварц (25-40%), биотит (0-7%), мусковит (0-5%). Плагио-
граниты сложены плагиоклазом № 17-24 (50-70%), кварцем (15-40%),
калиевым полевым шпатом (1-15%), биотитом (0-3%), мусковитом (0-
4%). Акцессорные минералы гранитомелов представлены гранатом, апа-
титом, цирконом, монацитом, сфеном и рутильным минералом. Катаклази-
рованные граниты в зонах разломов на отдельных участках подверг-
лись калиевому и кремни-калиевому метасоматозу, что привело к
образованию лейкократовых метасоматитов, отличающихся по составу
микроклиновым гранитам и граносенигитам. По данным химического ана-
лиза, плагиограниты относятся к породам, сильно пересеченным крем-

Таблица I

Результаты химического анализа магматических горных пород

Номер образца	Породы	Содержание окислов, вес. %													Сумма	
		SiO ₂	TiO ₂	Al ₂ O ₃	Fe ₂ O ₃	FeO	MnO	MgO	CaO	Na ₂ O	K ₂ O	P ₂ O ₅	SO ₃	CO ₂		
Эффузивы джелонской свиты (J ₃ -K ₁ , d1)																
409	Андезит	59,97	0,49	I7,16	2,5I	3,4I	0,12	2,46	5,55	4,57	I,29	0,18	0,01	-	I,73	99,45
I94	Дацит	66,05	0,34	36,10	I,5I	2,82	0,10	I,4I	3,99	3,86	2,47	0,17	0,00	-	0,67	99,98
Раннепротерозойские интрузии																
38 3420 ^a	Кварцсодержащий диорит	56,05	I,02	I7,02	2,9I	4,18	0,16	4,50	6,85	3,56	I,96	0,25	-	0,03	0,98	99,47
848	Плагиогранит	73,25	0,08	I5,15	0,33	I,0I	0,08	0,20	I,39	5,73	2,39	Сл.	0,02	-	0,4I	I00,03
2565	То же	7I,49	0,24	I5,24	0,78	0,8I	0,07	0,78	I,77	5,00	3,2I	0,08	-	0,07	0,03	99,52
Раннемеловые интрузии																
I88	Диорит	58,I3	I,05	I6,II	2,42	5,82	0,18	0,08	6,10	3,50	I,9I	0,20	0,01	-	0,98	99,43
279	Кварцевый диорит	60,44	0,72	I6,89	I,49	4,54	0,09	2,78	5,28	3,70	2,28	0,17	0,00	-	I,9I	I00,24
3776	Лейкократовый гранит	73,07	0,15	3,92	0,94	I,I4	0,06	0,6I	I,66	3,99	4,64	0,07	0,00	-	0,36	I00,6I
II80	То же	74,75	0,13	3,26	0,49	I,60	0,05	0,50	0,7I	3,97	4,20	0,08	0,00	-	0,54	I00,23

Числовые характеристики по А.Н.Заварецкому													
s	a	b	c	Q	a:c	c'	m'	f'	a'	n	t	ψ	
70,7	I2,3	II,3	5,7	II,I	2,2	II,3	38,3	50,4	-	85,I	0,5	20,I	
75,5	I2,2	6,5	4,8	23,8	2,5	I,I	37,2	6I,7	-	70,0	0,4	I9,2	
66,I	I0,7	I6,7	6,5	4,3	I,67	I3,3	46,7	40,0	-	73,0	I,3	I5,0	
80,3	I5,5	2,5	I,7	27,9	9,I	-	I8,4	50,0	3I,6	79,6	-	I8,2	
86,6	I0,0	2,I	I,3	5I,9	7,7	-	38,3	46,8	I4,9	70,4	0,3	2I,2	
68,6	I0,6	I5,I	5,7	I0,2	I,9	I2,5	35,2	52,3	-	73,7	I,42	I3,9	
7I,0	II,7	II,6	5,7	I2,9	2,0	7,8	4I,6	50,6	-	7I,9	0,89	I0,9	
80,7	I5,0	3,I	I,2	30,0	I2,3	-	3I,3	58,3	I0,4	56,8	0,16	25,0	
8I,4	I4,3	3,5	0,8	33,4	I7,8	-	22,2	5I,8	26,0	58,9	0,16	II,I	

нием, и блоки к альбитом и гранитом аplitам, по Дэли, отличаются от них меньшим содержанием цементной (табл. I).

Жильный комплекс гранитоидов представлен пегматитами. Многочисленные жилы пегматитов мощностью от 10 см до 1 м, крайне редко до 2–3 м, отмечаются как в самих гранитах (чаще в краевых частях), так и во вмещающих породах на небольшом (до 2,5–4 км) удалении от интрузивных тел. Пегматиты биотитовые, реже мусковитовые, иногда в них присутствуют крупные зерна эпидота и мелкие – розового граната.

Граниты и плагиограниты прорывают раннепротерозойские кварцевые диориты. Верхняя возрастная граница их не известна. Но, учитывая, что в зонах разломов на них наложен кремний-кальевый метасоматоз, проявление которого связывается с формированием раннепротерозойских (?) микроклиновых гранитов, естественно граниты и плагиограниты считать также раннепротерозойскими.

В качестве аналогов описанных пород по структурно-метасоматическим особенностям и геологической позиции можно назвать граниты тяжелакандского комплекса [26].

Трапиты микроклиновые и граносенизы лейкократовые и сиотитовые (γ_4 РЛ, ?) распространены крайне ограниченно. В северо-восточной части района они сложены западной оконечностью массива, большая часть которого находится за его пределами. Несколько небольших ($0,5\text{--}2 \text{ км}^2$) выходов этих пород установлено на левобережье Ульгана. Ими же сложено многочисленное, но выраженное в масштабе карты, кенолиты среди раннекемовых интрузивов.

Микроклиновые граниты и граносенизы приурочены к зоне разломов, проходящей в краевой части Чагарского глыбового поднятия. Контакты их с земделевыми рассланцованными архейскими габброидами и диморфоритовыми породами нечеткие. Среди гранитов отмечаются многочисленные различные по размерам участки, где сохранились архейские образования, подвергнутые интенсивному кремний-кальевому метасоматозу, поэтому переходы между ними и гранитами чрезвычайно ясные.

Преимущественно распространены граниты, обладающие гнейсово-издной или массивной текстурой. Первая, вероятно, является результатом и отражает участки сильно переработанного метаморфического субстрата. В массивных разностях иногда наблюдаются округлой или неправильной формы включения (кенолиты) сильно биотитированых габбро-амфиболитов и амфиболитов с четкими ограничениями. Эти включения периодически пронизаны многочисленными различно ориентированными прожилками и жилами гранитов с хорошо выраженным секущим

контактом, что привело к образованию своеобразной "сетчатой" текстуры. Цвет гранитов серый, розоватый, желтовато-серый. Они среднеразмерные, крупно- и неравномернозернистые, часто порфировидные с гранобластовой, гетеробластовой и бластокатастической структурой с участками структур замещения и коррозии; изредка наблюдается гипидоморфозернистая структура с элементами блестогранитовой. Показатели кремний-кальевый метасоматоз, выраженный в образовании крупных порфиробластов вторичного микроклина, часто содержит реликты плагиоклаза и арагонита квадра. Метасоматоз сопровождается замещением биотита мусковитом, коррозией, албитизацией, сепаритизацией и эпидотизацией плагиоклазов. Граниты состоят из микроклина (25–30%), плагиоклаза № 34–39 (30%), кварца (25–30%), биотита (2–8%) и акцессорных минералов (1%) – ортита, сирена, апатита, граната и рудного минерала.

Граносенизы встречаются нечасто и обычно залегают разломов, отеляющих их от раннекемовых гранитоидов. Это розоватые лейкократовые гнейсозидные породы с порфирогранобластовой структурой, состоящие из микроклина (40–55%), албитизированного плагиоклаза (20–25%), кварца (10%), биотита (5–8%), мусковита (2–3%), граната (1–2%) и акцессорных минералов (апатит, ортит, циркон, монацит).

По характеру взаимоотношения с вмещающими породами и текстурно-структурным особенностям описываемые образования имеют признаки как математического, так и метасоматического происхождения, но разделить их на генетические группы на данной стадии изученности не удалось. Представляется, что интрузивные и метасоматические процессы прошлились одновременно, однако ведущим фактором, определявшим основные особенности пород, явился кремний-кальевый метасоматоз. Процессы метасоматической переработки, сопровождавшие с образованием тел гранитов, локально проявлены в зонах крупных разломов и на других участках. Метасоматоз наблюдался на рассланцованные архейские габброиды, раннепротерозойские диориты и кварцевые диориты, граниты и плагиограниты. Поэтому микроклиновые граниты условно связываются с заключительными этапами раннепротерозойского тектоногенеза.

В восточной части хр. Станового и в хр. Дугдаку метасоматические граниты встречаются довольно часто. Они были выделены В.Н.Макини [28] в раннепротерозойский Марийский комплекс. В настоящее время имеется представления об архейском возрасте гранитов этого комплекса [22], которые мало чем отличаются от описан-

новозрастные граниты, но разделить их в настоящее вре-
мя практически невозможно.

РАННЕМЕЛОВЫЕ ИНТРУЗИИ

Интузиям этого возраста сложено около 15% площади листа.

Крупные массивы имеют четко выраженный трацический характер и при-
урочены к текстурически ослабленной зоне на соплении ложементар-
ских структур с ульским наложенным протисом. Небольшие тела обна-
руживают четкую непосредственную приуоченность к разломам. Изув-
чение взаимоотношений интузий различного состава показало, что
они сформировались в три фазы, в относительно узком возрастном
диапазоне. Интузии прорывают позднеейские раннемеловые вулкано-
генные образования джаллонской свиты и перекрывают нижнемеловыми от-
ложениями бокситовой свиты. Однако не исключено, что эфузивы яв-
ляются юрскими, поэтому и гранитоиды могут иметь ломлевский воз-
раст. Последнее подтверждается определением абсолютного возраста
лейкократовых гранитов третьей фазы. Проса I, отобранныя по
р. Сатма, показала 167 млн. лет ($K=3,36\%$, $A_{40}^{40}-39,3 \cdot 10^{-9}$ г/г, $A_{40}^{40}:K^{40}=0,0096$), а проба 2 из приставевой части р. Этната —
159 млн. лет ($K=3,47\%$, $A_{40}^{40}-38,3 \cdot 10^{-10}$ г/г, $A_{40}^{40}:K^{40}=0,0091$).

Лиориты, кварцевые лиориты и габбро-лиориты ($\gamma_0^0 K_1$) спа-
пант многочисленные ксенолиты в массивах более поздних фаз этого
же интрузивного цикла. Наиболее крупные ксенолиты площадью 0,5-
4 km^2 установлены в верховых руч. Соломенного и в бассейне нижне-
го течения р. Акур. Небольшие штоки мелкозернистых лиоритов, не
зарождающиеся в масштабе карты, на левобережье в зоне Ульхинского
разлома прорывают архейские образования.

В пределах относительно крупных участков развития описываемых
пород для них характерна быстрая смена различных структурных
разновидностей (мелкозернистые разности сменяются неравномерно-
зернистыми и порфировидными). Состав их также не постоянен и варь-
ирует от кварцевых и кварцодержащих лиоритов до габбро-лиоритов.
В целом преобладают кварцевые лиориты. Они представляют собой
тектонические массивные породы с гипидроморфозернистой структурой,
состоящие из плагиоклаза № 25-35 (55-60%), кварца (7-12%), микро-
клина (1-15%), различного количества биотита и роговой обманки (30-
35%), апатита, сфена, циркона, ильменита и лейкоксенита (суммарно
1,5-3%).

Лиориты — мелкозернистые, равномернозернистые, иногда слю-
бо порфировидные темно-серые массивные породы. Структура их при-
матически зернистая, гипидроморфозернистая. Минеральный состав
следующий: плагиоклаз (60-80%), роговая обманка (10-30%), блогит
(5-10%), реже кварц и кальцит полевой шпат (до 1%). В габро-
лиоритах количество темноцветных минералов, преимущественно ро-
говой обманки, увеличивается до 50%. Плагиоклаз обычно зональный.
В краевых частях он соответствует андезиту № 28-52, а в централь-
ных — лабрадору № 50-52.

Гранодиориты блогит-роговообманковые ($\gamma_0^0 K_1$) кварцевые
лиориты и диориты ($\delta_0 K_1$) граниты ($\gamma_1 K_1$) представляют главную
фазу раннемеловых интузий. Они образованы крупные массивы пло-
щадью более 200 km^2 в междуречье Амтар-Ульхин-Тулькиган и Сатма-
Соломенный. Небольшие штоки этих же гранитоидов имеются на право-
берегье Ульхина и в междулучье Ульхин-Муриля.

Крупные массивы, являющиеся трещинами телами, уличены в
северо-восточном и субширотном направлении. Контакты их с имеющи-
мися породами в большинстве случаев крутие, и лишь в бассейне Му-
кунга они несколько выпрямляются, о чем свидетельствуют широко
развые контактные роговики по эфузивам, а также наличие в эн-
доконтакте массива пород с мелкозернистой и порфировидной струк-
турами.

Строение массивов неодинаково. В верховых руч. Три Броды интузия имеет четко выраженное зональное строение. Центральная
часть его сложена роговообманково-биотитовыми среднезернистыми
гранитами, которые к периферии сменяются гранодиоритами. Непосред-
ственно в краевых частях распространены преимущественно лиориты и
кварцевые лиориты. К западу, на правобережье р. Ульхин, в пределах
этого же массива по-прежнему четко устанавливается краевая фашия,
представленная среднезернистыми кварцевыми лиоритами, непосред-
ственно в контакте иногда переходящими в лейкократовые лиориты.
Кварцевые лиориты сближе к центру сменяются гранодиоритами, но гра-
ниты здесь отсутствуют, что может свидетельствовать о меньшей пе-
риодичности эрозионного среза западной части интузии. В массиве по
р. Мукунга краевая часть сложена в основном гранодиоритами, кото-
рые в зоне много контакта характеризуются мелкозернистым, а иногда
и порфировидным, вплоть до порфирового, зонированием. Кварцевые лио-
риты и лиориты встречаются здесь спорадически. В центральной час-
ти развиты граниты. В бассейне Сатма массив сложен преимущественно
гранодиоритами. Кварцевые лиориты и граниты встречаются нечасто.
На западном окончании этого массива, по-видимому, в опущенном тек-

тоническом блоке, выходят диориты и кварцевые диориты, характерные для красной фации интузии. Небольшие массивы и штоки (правобережье Ульяна, между речами Ульян-Мургия, верховья р. Егеконга и др.) примерно в равных количествах сложены гранодиоритами и кварцевыми диоритами, связанными постепенными переходами.

Гранодиориты представляют собой светло-серые и розово-серые породы массивного сложения. Для кварцевых диоритов характерна более темная окраска. Для обеих разновидностей типичны гипидоморфозернистые, редко приматически зернистые, иногда монодоменные структуры. Гранодиориты состоят из плагиоклаза (45–60%), кварца (15–25%), калиевого полевого шпата (10–20%), роговой обманки (5–15%) и биотита (2–10%). В кварцевых диоритах количество плагиоклаза № 29–37 достигает 65–80%, кварца – 15%, калиевого полевого шпата – 5–7%, роговой обманки – 5–15%, биотита – 5–20%. В диоритах и их кварцодержащих разностях количество кварца уменьшается до 1–5%, калиевого полевого шпата – до 0–5%, а темновицетных увеличивается до 35%. Граниты – розово-серые среднезернистые породы с гранитовой структурой, состоящие из плагиоклаза № 25–29 (30–35%), микроклина (30–85%), кварца (25%), биотита (6–8%), роговой обманки (1–4%). Аксессорные минералы пирит этой фации представлены цирконом, апатитом, сфеном, ортитом, рудным минералом.

По химизму диориты и кварцевые диориты близки к среднему типу аналогичных пород, но Дели, отличаясь от них пониженным содержанием свободной кремнеземистости (табл. I). Из элементов-примесей для рассматриваемых гранитоидов характерен стронций и кальций.

Метаморфические образования и древние интрузии сколько-нибудь значительных изменений в контакте с гранитоидами не испытывают. Только на правобережье Ульяна на небольшом (15–20×2–5 м) участке архейские породы, вероятно, глиновемистого ряда превращены в андалузитовые роговники, состоящие из кварца (80–85%), андалузита (7–12%), мусковита (до 2–5%), редко биотита (до 1%). Процессы kontaktового метаморфизма интенсивно проявлены в мезозийских вулканическxх. В бассейне Мукунга в зоне шириной до 1 км они превращены в сиотитовые, реже биотит-клинопиритовые роговники. (Узкий) – весьма характерные породы, легко отличающиеся от всех интрузивных образований района. Ими сложено постмагматическое (до 45 км) трещинное тело в нижнем течении рек Ульян и Ульян, на стыке устья Ульяна и Ульян,

ный ряд небольших (1–8 км²) штолов в бассейнах рек Сарма, Амтар, Мукунга. Тела лейкократовых гранитов выделяются докембрийскими метаморфическими и интрузионными образованиями, раннемеловыми гранитами второй фазы и эффузивами Джелонской свиты. Последние в контакте с рассматриваемыми гранитами превращены в биотитовые роговники. В других образованиях, хотя с ними и наблюдалась отчетливая выраженная рудные контакты, изменения практически не фиксируются.

Интрузии в нижнем течении р. Ульяна с юга почти залива гранит с нижнеловыми отложениями боконской свиты по текtonически-му контакту, и лишь по левому берегу Ульяна, выше устья р. Кучу, видно наложение этих отложений на лейкократовые граниты. Восточная часть массива сложена розово-серыми и розовыми крупнозернистыми порфирийными гранитами. На отдельных участках они постепенно переходят в среднезернистые разности. В краевых частях, но не повсеместно, развита фауна мелкозернистых порфировидных гранитов и гранит-порфиров, ширина выхода которых обычно не превышает 50 м. К западу от разлома, проходящего по р. Кучу, в краевых частях интузии распространены среднезернистые, иногда пегматитовые, а в центральной части – средне-кулонозернистые порфировидные граниты.

Небольшие тела в среднем течении рек Сарма и Амтар сложены среднезернистыми, иногда переходящими в мелкозернистые, гранитами. В бассейне Мукунга отмечаются преимущественно мелкозернистые, в краевых частях порфировидные, вплоть до гранит-порфиров, лейкократовые биотитовые граниты.

Для гранитов характерна розоватое тонкую окраска и своеобразный лычачий кварц. В порфировидных разностях фенокристаллы микролина и плагиоклаза составляют 15–25% объема породы. Изредка в метаморфических разностях отмечаются микролитовые пустоты. Структура пород гранитовая, гипидоморфозернистая, участками пегматитовая. Они состоят из калиевого полевого шпата (25–50%), плагиоклаза (15–40%), кварца (30–50%), биотита (до 4%) и акссесориев (циркона, апатита, сфена, монацит, рудного минерала).

По химическому составу лейкократовые граниты относятся к пересыщенным кремнеземом и биотитом зеленчуками породам. Они близки к аллюзитам по Дели (табл. I). Из элементов-примесей характерны молибден и никель.

ПОДЧИНЕЛОВЫЕ ИНТРУЗИИ (?)

Диоритовые порфириты и микродиориты ($\delta\text{J}_2\text{K}_2$) распространены крайне ограничено и только в иной части района, где они представляют отложения боконской свиты, что и является основанием считать их предположительно позднечеловеческими. Эти породы слагают дайки мощностью от 0,6 до 3,5 м северо-восточного ($15\text{--}40^\circ$) и меридионального простирания. Контакты двух с вымощающими породами четкие, прямолинейные, иногда слабоизвилистые, крутопадающие ($70\text{--}90^\circ$).

Контактовые изменения выражены слабо и не всегда. Обычно это слабая хлоритизация и окварцевание цемента губообломочных пород в зоне шириной не более 10–15 см. Диоритовые порфириты в зоне эндоконтакта шириной до 10 см приобретают директивную текстуру, обусловленную однокомковой ориентировкой вкраплениников. Диоритовые порфириты – темноокрашенные мицерализистные породы с якрапленниками (10–25%) плагиоклазом и роговой обманкой. Структура основной массы мицерализистическая зернистая. Образована она плагиоклазом $\#36\text{--}40$ (55%) и роговой обманкой (45%). Микродиориты отличаются от диоритовых порфиритов только видовой структурой. Очевидно, эти образования распространены в районе более широко, но отдельных от сходных по составу даек другого возраста на участках, где нет отложений боконской свиты, пока невозможно.

МЕЛОВЫЕ ИНТРУЗИИ

В северной части района достаточно часто встречаются линзы транзит-порфиритов (J_2K), гранодиорит-порфиритов (J_2K_2), аplitов (J_2K), диоритовых порфиритов (J_2K) и спессартитов (J_2K). Они залегают в массивах раннепалеозойских гранитоидов или вблизи них, реже вне пространственной связи с интрузиями. Верхняя возрастная граница даек не установлена. Поэтому объединение их в одну группу вынужденно. Здесь могут оказаться разновозрастные образования, различить которые, из-за отсутствия геологических реперов, практически невозможно.

Простижение даек северо-восточное ($20\text{--}45^\circ$), реже субмеридиональное. Падение обычно крутое ($60\text{--}80^\circ$). Мощность варьирует от долей метра до 10–20 м, реже более. Контакты с вымощающими по-

родаами резкие, прямолинейные, редко неправильные, извилистые. Наиболее ранними, очевидно, являются даики среднего состава, так как в гранодиорит-порфиритах отмечаются ксенолиты диоритовых порфиритов и спессартитов. Наиболее распространены даики гранодиорит-порфиритов. В среднем течении р. Удлан и в верховых руч. Соловенного они образуют плавкие поля площадью около 20 км². Эти поля вытянуты в северо-восточном направлении.

Для жилых пород среднего состава характерны прозматически зернистые порфиритовые структуры. Количество вкраплениников плагиоклаза и роговой обманки колеблется от 2–5 до 25%. Породы кистового состава обычно мелковкрапленники, серого и розово-серого цвета и по составу не отличаются от вышеописанных интрузивных разновидностей.

ТЕКТОНИКА

Северная часть территории листа № 52-ХУШ расположена в пределах складчато-глыбовой зоны Становишка-Дугункура, а южная – в пределах усского наложенного прогиба. Во многом определяющая роль в создании структуры района принадлежит процессам мезозойской тектонико-магматической активизации, с которыми связано формирование вулканитов джалонской свиты и меловых гранитоидов.

До последнего времени зона Становишка-Дугункура рассматривалась как зона собственно прогревозоди, обрамляющих с юга архейские структуры Алданского дигита. Однако работами последних лет в восточ-ной части зоны установлены архейские образования, слагающие Чогарское глыбовое поднятие [30], западная часть которого находится на территории листа № 52-ХУШ. С запада Чогарское глыбовое поднятие обрамляется раннепротерозойскими складчатыми структурами.

Чогарское глыбовое поднятие, сложенное архейскими образованиями, от восточной границы листа распространяется в юго-западном направлении на правобережье Удахана и далее по отдельным фрагментам прослеживается до долины Улы, где погружается под раннemеловую отложения. Ширина выхода на поверхность структур поднятия достигает 30 км. С севера и юга они ограничены глубокими разломами, в определенной степени обусловленными распределение интрузивных образований. Сама Чогарская глыба рассечена многочисленными преимущественно субостигающими относительно простирания архейских пород разломами.

и на цепи системы блоков и насыщена массивами разновозрастных интрузий, что в условиях недостаточной обнаженности и широкого но неравномерного проявления рассланцевания и дифореза горных пород практически не позволяет воссоздать общую картину складчатых структур. Поэтому строение Чогарского глыбового поднятия приходится рассматривать по отдельным участкам.

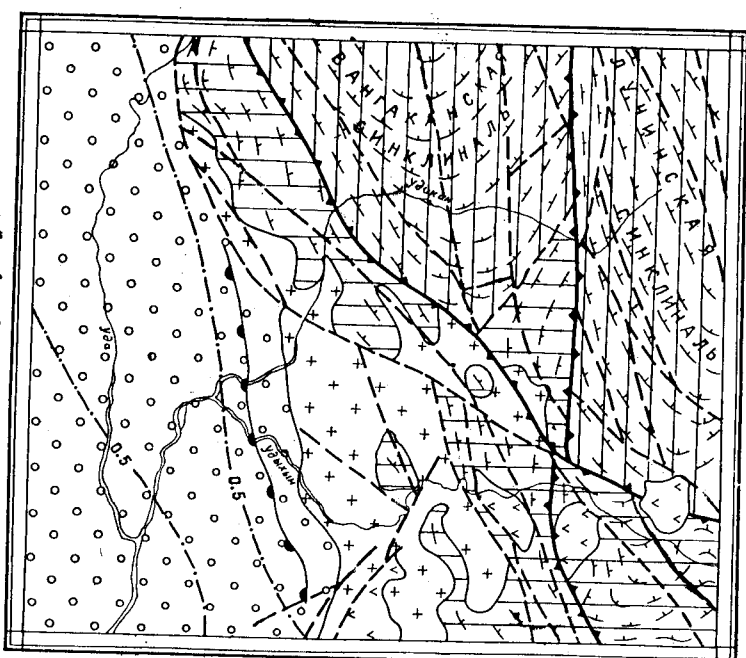


Рис.2 Тектоническая схема листа № 52-ХIII
м-58 1:500 000

Складчато-глыбовая зона Становка-Лутглика: 1 - структуры, сложенные архейскими образованием (четверстое глыбовое поднятие); 2 - структуры, сложенные интровертированными образованием; 3 - раннеметаморфической южной пологими складками; 4 - магматические образования эпохи мезойской тектономагматической активации; 5 - антиклинальные разломы; 6 - глыбовые разломы; 7 - основное направление простирания и падения метаморфических образований; 8 - северная граница моноклинали; 9 - линии разных глубин залегания фундамента (в км).

В пределах рассматриваемого тектонического блока породы почти повсеместно рассланцованы. Чаще рассланцовывание совпадает со слоистостью или полосчатостью, реже они пересекаются под различным углом как по простиранию, так и по падению.

К югу от р.Мурмы архейские образования имеют в общем устойчивое северо-восточное простирание и падают к северо-западу и юго-востоку. Падение обычно крутое ($75-80^{\circ}$), нередко вертикальное, лишь изредка наблюдается сравнительно пологий (35°) наклон слоев. Представляется, что первоначально городы были сняты в систему сопряженных антиклинальных и синклинальных складок, на что может указывать смена падения их в смежных тектонических блоках. К юго-западу от долины р.Ульян архейские образования слагают относительно небольшие по площади остатки кровли интрузий, коренные обнажения горных пород встречаются здесь крайне редко. Исключение составляет лишь выход архей около долины р.Ула. На сев-

Пере этого участка простирание реликтовой мигматитационной полосы частота и сложности (последняя в единичных пунктах устанавливается по переславанию гнейсов и амфиболов) северо-восточное, падение по azimuthу 300-330°, под углом 20-30°, редко до 45°. Кинес простирание приближается к широтному, с пологим (20-40°) падением к северу, а непосредственно около р.Улы изменяется на северо-западное.

С запада и северо-запада Чогарское глыбовое понятие обрамляется раннепротерозойскими структурами, которые в целом присоединяются к конфигурации глыбов. Нижнепротерозойские образования выявляют большое количество массивов раннепротерозойских интрузий и скуются многочисленными, различно ориентированными тектоническими разрывами. Если интрузии тела, особенно дельвестановых гранитов и отчасти кварцевых диоритов, в большинстве случаев заходят согласно или почти согласно с вмещающими породами и в общем подчеркивают их структуру, то разломы разделяют эти образования на отдельные блоки и затрудняют реконструкцию складчатых структур. Все же представляется, что образования нижнего протерозоя первоначально были смты в антиклинальную структуру, ось которой почти в широтном направлении проходила через верховье р.Улыкан в бассейн Аргы. В последующем антиклиналь почти полностью была уничтожена движущимися в связи с Улькунским разломом, и в настоящее время картируются только ее фрагменты. К северу от зоны Улькунского разлома породы падают в северном направлении, а к югу – в южном или юго-западном. Здесь лишь местами непосредственно около зоны отмечается падение к северу под углом 30-50°. На этом же участке наблюдались мелкие складки, шарниры которых потружаются по azimuthу 200-300° под углом 5-20°, что, вероятно, соответствует первоначальному погружению антиклинали.

К югу эта антиклиналь сопрягается с Вантаканской синклиналью, представляемой собой относительно простую отрицательную структуру, форма которой во многом определяется очертаниями Чогарско-Гульдунской синклиналью. Вантаканская синклиналь сложена гнейсами лами раннепротерозойских кварцевых диоритов. Максимальная толщина складки 25 км. Ось ее в субширотном направлении проходит от долины Улыкан в устье руч. Вантакан. На Южном крыле породы падают к северо-западу под углом 15-60°, на северном – к юго-западу под таким же углом. На центральной части складки, в частности, в северной части, падение простирания структуры, которое фиксируется по р.Улыкан и в межгорье Улыкан-Вантакан, они падают на запад 260-280° под углом 20-40°. Шарниры складки, судя по замерам линейности, полого (10-15°) погружаются к западу.

К северу от зоны Улькунского разлома нижнепротерозойские образования почти звездообразно простираются в субширотном – северо-восточном направлении и моноклинально под углом от 45 до 70° (в среднем 55-50°) падают в северных румбах. В этом же направлении параллельно и разнее нижнего протерозоя, образованием которого сложено южное крыло Лучинской синклинали. Другое крыло и центрники нальное замыкание структуры наложается в бассейне р.Кукур. В южном течении р.Неруды (приток Кукура) склон падает по azimuthу 0-350°, а в 4 км выше устья простирание слоев с субширотного заменяется на северо-западное с падением в западных румбах. Особенность здесь фиксируется центриклиновое замыкание синклинали. Шарнир ее от р.Неруды полого погружается по azimuthу 290-300°. Центральная часть и северное крыло Лучинской синклинали почти целиком находятся на сопредельной с севером территории [26].

Крылья Вантаканской и Лучинской синклинали осложнены пологими и асимметричными. Изоклиматические складки встречаются редко и преимущественно в пределах Вантаканской синклинали, где осевая плоскость их наклонена к северу. Шарниры мелких складок под углом 5-10° погружаются к западу по направлению погружения южной раннепротерозойской структуры.

Мезоэозойские эфузивы сохранились в относительно небольших площадях тектонических блоках или ксенолитах кровли раннемеловых гранитоидов. В южной части тектонического блока по р.Мурзия, где выходят вулканогенно-осадочные отложения, надежно устанавливается падение пород к северу под углом 20-30°. На северной окраине блока на фундамент ложатся падающие к югу лавы.

В блоке по р.Улыкан, ниже устья р.Мурзия, вулканиты простирются по azimuthу 300-310° и падают на юго-запад под углом до 20°, в Южном, выше устья р.Сатма, падение изменяется на обратное под таким же углом. Аналогичный характер дислокированности эфузивов можно предполагать и на других участках, где из-за недовлетворительной обнаружности и внешне однородного состава пород нельзя достоверно судить об их залегании. Имеющиеся немногочисленные данные скорее всего указывают на то, что эфузивы Джилонской синклинали сложены отрицательные структуры типа синклинальных. Возникновение их, видимо, обусловлено не собственно складчатыми процессами, а дифференцированными движениеми фундамента. Наряду с общим пологим залеганием вулканогенных образований в ряде пунктов, в частности в береговых обнажениях р.Улыкан, иногда устанавливается наклон фундаментности под углом до 80°. Такое

кругое падение совершено не свойственно покровным фациям. Это частное явление, обусловленное особенностями древнего рельефа или, возможно, указывающее на наличие зукиннических жерловин, которые при картировании здесь не были установлены.

Ульской наложенный против выпаден пресноводно-континентальный отложениями боконской смыти. Эти отложения залегают очень спокойно. Всеми сортами прогиба они полого (около 5°) падают к югу, хотя на отдельных участках устанавливается залегание под углом 10-15-20°. Последнее скорее всего связано с нарушением залегания отложений волнистых разрывов. В данном направлении происходит постепенное выполневание падения слоев, и в обнажениях по р. уде они лежат горизонтально. На правобережье Улы коренных обнажений горных пород почти нет. По линиям дельтирорования аэрофотоснимков, с помощью которых структурные особенности боконской смыти установляются достаточно четко, отложение залегает также полого. Иные территории листа № 52-ХУП отмечается пологий наклон слоев в северном направлении, что указывает на синклинальную структуру протябки с очень пологими крыльями и горизонтально лежащими слоями в ее мульде. По данным гравиметрической съемки [25], фундамент Ульского прогиба сложен метаморфическими и интрузионными образованиями.

Четвертичные отложения на дислокированы.

Важное значение при формировании структур района имела разрывная тектоника. Большинство разломов имеет субширотное северо-восточное направление, реже встречаются разрывы северо-западного простирания. Определенными были нарушения первого направления, контролирующие размещение ранноворастных интрузий.

Наиболее крупной разрывной структурой является Ульянский разлом, отвечающий Чогарское глыбовое плинтите от раннепротерозойских структур. К зоне разлома приурочены ранноворастные интрузивные тела и эфузивы целинской смыти. Ульянский разлом в широтном направлении протягивается из бассейна р. Арги на правобережье р. Эльга и через бассейн р. Мурили уходит за пределы района. На западе, в бассейне р. Арги, разлом контролируется зоной рассланцованных пород шириной от 1 до 5, иногда до 8 км. На правобережье р. Эльга зона бластомильтов имеет ширину 1,5 км. Затем к востоку от руч. Курмакан (приток р. Эльги) Ульянский разлом расходится на две ветви. Одна из них проходит по правобережью р. Ульян по азиату 30-40°, в вторая – в широтном направлении в долину р. Мурили. В блоке, ограниченном этими разрывами, архейские образования сильно рассланцованны и дифференцированы в условиях амфиболитовой фации метаморфизма. Сами разрывы трассируются катаклизированными бреши-

рованными породами, местами – съёмствомонтитами. Плоскости сместителей падают к северу под углом 70-80°.

Еще один крупный – Нижне-Ульянский – разлом из бассейна нижнего течения р. Ульян по азиату 40-60° прослеживается на левобережье Ульяна, где он практически сопрягается с Ульянским разломом. Зона Нижне-Ульянского разлома, которым контролируются породы в пологе шириной около 200 м превращены в хлоритовые и кварцево-хлоритовые сланцы – бластомильты. В других случаях ширина зон катаклаза вдоль отдельных разрывов не превышает 10 м. В целом системой сближенных нарушений образована мощная (ширины в несколько километров) зона перекрестно катаклизированных пород. В ее пределах отдельные маломощные зоны круто (до 90°) падают в северном направлении.

Кроме этих крупных динамических структур, установлено большое количество различных по масштабам нарушений, которые в западной части района имеют субширотное (70-90°) простирание, изменяющееся к востоку на северо-восточное (40-50°). Большинство этих разломов дельтироруется на аэрофотоснимках и расположаются по зонам катаклазитов мощностью от 1-2 до нескольких десятков метров. Эти зоны падают к северу под углом 70-90°.

Разрывы северо-западного направления являются сбросами и по сравнению с нарушениями северо-восточного простирания имеют меньшее распространение. Они установлены, главным образом, при дельтиророванием аэрофотоснимков и выражены маломощными (1-2 м) субвертикальными зонами катаклизированных, брешированных, редко субдикизованных пород.

Нарушения обеих групп секут все образования района, выделяя раннемеловые отложения. Движение по некоторым разрывам не прекратилось и в четвертичное время, о чем наглядно свидетельствуют геоморфологические данные. Есть основания предполагать, что ряд разломов субширотного направления представляет собой структуры древнего заложения, так как они обусловлены размещение не только раннемеловых интрузий, но, по-видимому, и раннепротерозойских граничесов. В геологической истории района четко намечается две стадии. Первая стадия – это развитие в условиях высокой мобильности земной коры вплоть до превращения региона в область завершенной склад-

частоти. Вторая стадия — тектоно-магматическая активизация жесткого сооружения, последовавшая после длительного периода относительно тектонического покоя.

Воссоздать историю района в раннем докембрии можно лишь предположить по недогматично. В архейское время, как это можно предположить по недогматической формации, характерной для подибовых участков земной коры. В последующем, когда общее погружение в отдельных зонах сменилось поднятием, произошло становление интузий основных и ультраосновных пород. В период проявления главной фазы архейского тектонизма зона породы претерпела метаморфизм в условиях трансулитовой фации. Ультратрансулитоморфизм сопровождался образованием плавленно-метасоматических альжитовых гранитов.

В раннем протерозое район также прошел полный цикл развития геосинклинального типа — осадконакопление, складчатость, интрузия магматизм, метаморфизм. Метаморфические породы нижнепротерозойского комплекса сформировались в условиях амфиболитовой фации метаморфизма с широким развитием явлений ультратрансулитоморфизма. С последним связано образование винатектических состяжательных гранитов древнепротерозойского комплекса. К моменту проявления основной

фазы раннепротерозойской складчатости архейские структуры обвалились и уже определенной жесткостью в значительной мере предопределили основное направление раннепротерозойских складок. С этой фазой следят, вероятно, снятие расщеплений и регressiveный метаморфизм гранулитов окраины чотарского глыбового пояса в условиях амфиболитовой фации. Поздние этапы раннепротерозойской истории нашли отражение в становлении последовательных интрузий.

С конца раннего протерозоя районы представляли собой область завершенной складчатости. В позднепротерозое время началась тектономагматическая активизация этого жесткого сооружения. Определенную роль играли в этих процессах крупные разломы субширотного-северо-восточного направления, которыми контролировалось налияние афузивов ляшанской свиты и в региональном плане — формирование южного вулканогенного пояса. С вулканами тесно во времени и пространстве сопряжено становление раннелобых интрузий, в размещении которых основное значение сохраняет те же крупные разрывные структуры. Трещинные тела гранитов имеют субширотное или восток-северо-восточное простирание. Большая часть их приурочена к ослабленной зоне на стыке докембрийских структур с диским наложенным пристыком.

Накопление нижнелобовых пресноводно-континентальных отложений в Ульском прогибе началось после того, как на дненую поверхность были выведены раннелобовые гранитоиды. В ранне- и среднеболконское время условия седиментации были относительно стабильными. В позднеболконское время область склона к серву от прогиба испытала резкое поднятие, что отразилось в накоплении конгломератов верхней подсвиты боконской свиты.

В последующем для района также характерен континентальный тип развития. До настоящего времени он сохраняет тенденцию кустоциальному возникновению. Это заливание неравномерно: южная часть территории, где сохранились отложения боконской свиты, отстает от северной. В пределах последней движения носят дифференцированный склоновый характер, что устанавливается по наличию эфузивов джелонской свиты среди древних обнажений и по особенностям современного рельефа (антecedентные участки речных долин, морфология речных долин, их продольный профиль, тектонические уступы, по которым сошленяются участки с различным рельефом, но одинаковым геологическим строением).

ГЕОМОРФОЛОГИЯ

Нетектонические движения в сочетании с экзогенными процессами обусловили возникновение современного рельефа. В зависимости от преобладающей роли определенных рельефообразующих факторов выделяются следующие генетические элементы рельефа: денудационно-эрэзионные, денудационно-денудациональные, денудационные и аккумулятивные (речные террасы).

Денудационно-эрэзионные склоны сформированы на метаморфических породах и, в меньшей степени, на эфузивах джелонской свиты. Они занимают около половины территории и в основном приурочены к водораздельным пространствам и горам с высотой 380–1427 м над уровнем моря. На отдельных участках они образуют краевые борта долин Ульхана, Уликана, Учи и других рек. Определенными в формировании денудационно-эрэзионных склонов являются процессы эрозии и гравитационного сноса.

В районе среднегорья денудационно-эрэзионные склоны образуют ряды (8–10 м) сложно разветвленные гребни водоразделов и горные гряды с крутыми (25–40°) выпуклыми или прямыми склонами, покрытыми неакрепленными глыбовыми осадками; местами встречаются

денудационные останцы. Верхние гряды гребне- или конусовидные. При удалении от осевой части средненеисточных хребтов рельеф несколько меняется. Верхние части водоразделов становятся более широкими (30–100 м), вермины гор – куполовидными или столообразными. Склоны прямые или вогнутые, крутизна их все еще остается значительной (15–25°). Каменные осины встречаются еще достаточно часто, на отдельных участках они защеллены растительностью; денудационные останцы редки.

Долины водотоков в горных районах, в верховых имеют обычно разветвленную U-образную форму. Продольный профиль их не выработан, крутой, часто ступенчатый, русла изобилуют порогами, места-ми заторов проходит по коренному ложу. Вниз по течению характер долин меняется мало. В среднем течении даже крупных рек (Ульяны, Удикан) долина имеет U-образную или узловатую форму и крутой порожистый продольный профиль. Берега крутые, нередко обрывистые. Террасы встречаются на отдельных непротяженных участках. В устье небольших ручьев и распадков, расчленяющих склоны долин, формируются конусы заноса из плохо сортированного глинистого–щебенистого материала. Переход денудационно–эрозионных склонов к поверхности другого генезиса замечен по перегибу в рельфе.

Эрозионно–денудационные склоны образуют никакогорные хребты и холмисто–увалистые предгорья с абсолютными отметками 220–800 м. Развиты они в бассейнах рек Эльбадекит, Ампар, Ванга, в между- речье Уда–Удикан и других местах. Эти склоны образовались преимущественно на пестро-контгломератовых отложениях боконской слизи и менее типичны для участков, сложенных интрузионными и метаморфическими породами. Основную роль в их формировании играли процессы денудации.

Эрозионно–денудационные склоны образуют столообразные, реже куполовидные вершины гор и холмов, разделенные широкими седловинами. Они имеют вогнутый или прямой попеченный профиль. Местами они ступенчатые, что обусловлено пересланиванием различных по устойчивости город. Крутизна склонов изменяется от 6–10 до 12–15°. Изредка на задернованных и поросших лесом склонах встречаются глыбо-обломочные осины, отдельные скальные останцы (в основном гравитационные) и солидификационные псевдотеррасы. Долины водотоков трапецевидные, заболоченные, с хорошо выраженной полой и комплексом надпойменных террас. Переход склонов к днищам речных долин обычно плавный, стяжанный, передко маскируется дельвильскими шлейфами.

Денудационные субгоризонтальные поверхности (поверхности выравнивания) встречаются в виде отдельных разобщенных плоскостей на

абсолютных отметках от 560 до 1100 м в пределах среднегорного рельефа и от 220 до 640 м в пределах низкогорного рельефа. Ширина плоскодок колеблется от 0,2 до 1 км, максимальная длина – 8–5 км. Продольный профиль их слабоволнистый, уклон в сторону речных долин составляет 1–6°. Изредка на денудационных поверхностях встречаются эрозионные развали и останцы коренных пород. Переход к склонам иного генезиса почти всегда четкий.

В районе выделяются четыре субгоризонтальные поверхности, созданные деятельности рек (речные террасы).

Раннечетвертичная (?) аккумулятивная терраса установлена на правобережье Уды и в верховых Арги. Высота ее во многих местах нечеткая. Так, где он сохранился, высота его колеблется от 3–8 до 20–25 м, а наклон – от 6–15 до 25–35°. Уступ залясен и нередко расчленен короткими распадками. Ширина террасы 0,4–5,5 км. Поверхность ее на заросших участках сухая, слабоволнистая или ровная, на открытых заболоченная, почковато-мелкобугристая. Бугры мховые, высота их равна 0,3–0,5 м. Уклон террасы в сторону реки 3–8°. Высота ее над уровнем земли на правобережье Уды 60–80 м, в верховых Арги – 30–40 м. Тыловой щов не выражен.

Среднечетвертичная терраса (аллювиальная или поклонная) лежит в долинах бальминства рек района. Высота ее в горной части 12–25 и 20–50 м – в долине р. Уда. Уступ террасы выражен хорошо. Если он сложен аллювием, то высота его составляет 3–5 м и наклон 5–12°, а если коренными породами, то высота равна 18–25 м и склон составляет 20–30° и более. В местах подмыния реками уступ обрывистый. Ширина террасы значительная (до 10,5 км). На заболоченных участках поверхность террасы поросла угнетенным лиственничным радиолесом, мхово- или почковато-бутиристая с частями термокарстовыми западинами неправильной или округлой формы. Глубина западин 0,5–1,5 м, ширина от 2–3 до 20–30 м. Берега их бугристые. Бугры пучения сложены торфом или суглинистым материалом с галькой. Между западинами возвышаются суходолистные острова (рельки), четко выделяющиеся среди заболоченных пространств по высокому и густому древостою. Превышение рельек над поверхностью террасы составляет не более 0,5 м. Сухие участки террас слабоволнистые, заселенные. Уклон поверхности в сторону русла равен 2–4°. Тыловой щов не выражен.

Позднечетвертичная терраса (аккумулятивная или поклонная) имеет высоту 4–6 и 6–12 м. Она развита в долинах почти всех рек. Уступ ее обычно четко выражен, высота его равна 1–5 м, крутизна достигает 20–25°. Бровка сплажена. В местах подмытия

кой уступ обрывистый. Ширина террас изменяется от 0,1 до 2,4 км.

Поверхность неровная, участками заболоченная, кочковатая. В долинах рек Ульян и Уликан терраса расчленена множеством заболоченных или заполненных водой староречий и ложбин грунтовой 0,5–1,5 м и шириной до 20–50, редко до 200 м. Между понижениями встречаются сухоальвные заросли острова-релик. Уклон поверхности террас в сторону русла 1–3°. Тыловой щов четко выражен.

Современная терраса (высокая и низкая пойма; в долинах не – крупных водотоков расчленить пойму на два уровня обычно трудно). Высокая пойма имеет крутой, часто обрывистый уступ высотой 1,5–2,5 м с хорошо видимой бровкой. Поверхность ее сухая, волнистая за счет расчленения протоками, промонами и старыми руслами. На ней распределяются хвойный тополово-ивовый или елово-листственный с деревней лес. Тыловой щов фиксируется понижением шириной 10–20 м и глубиной 0,3–1 м. Поверхность низкой поймы неровная, бугристая, с большим количеством кос, отмелей, проток и вееров блюдания. Высота ее равна 0,5–1,5 м.

По особенностям развития район можно разделить на две части: южную, где с начала четвертичного периода, возможно с конца неогена, сохранилась тенденция к аккумуляции рыхлого материала, и северную, являвшуюся областью устойчивого неравномерного воздействия.

В южной части (долины р. Улы и ее притоков) аллювиальные отложения распространены значительно; местами они золотоносны (реки Эльбасекит, Мус, Гаента и др.). Отложения подвергались неоднократному частичному перемещению, что привело к рассеянию золота по различным горизонтам аллювия. Очевидно, наилучше более благоприятными для поисков сформированных золотоносных пластов являются прибрежные "законсервированные" части долины и участки долин, не затронутые регressive-ной арозией.

Северная часть территории является областью слаших и умеренных поднятий. Для нее в пределах среднегорного рельефа характерна глубокий (350–500 м) эрозионный врез и густая сеть боковых притоков. Это вызывает широкое (по площади и на глубину) вовлечение в переработку текущей водой огромных масс обломочного мате-

риала и приводит к обогащению золотом аллювия, даже при разрушении слабо минерализованных пород.

При прочих равных условиях, по аналогии с известными в районе россыпями, наиболее благоприятны для накопления золота долины, имеющие ступенчатый продольный профиль. Как правило, в верховых долин он крутой, а в средней и нижней частях становится более пологим, что определяет накопление зерен тяжелых минералов на этих интервалах. В известных россыпях плотником является рассланцевание породы, ориентированное под углом к долине (ребровик). Такие породы отмечаются только в южных разломах (Ульянский и др.). К зонам этих разломов приурочены известные россыпи, в связи с ними отмечаются также измененные золотосодержащие коренные породы. Таким образом, наимечается хотя и не совсем уверенно, прямая связь россыпей с коренными источниками.

В пределах эрозионно-денудационных поверхностей господствуют процессы склоновой денудации и акченной роли при наименее боковой эрозии. Долины рек хорошо разработаны, имеют пологий продольный профиль и развитую пойму. Сочленение днищ долин со склонами позволяет, заваливанием делывательным чехлом. Мелкое движение делывательных, усиливаемое солидификационным смешением рыхлых масс по пологим склонам, способствует разрушению и измельчению обломков и, по-видимому, высвобождению значительной части золота еще в деловом начальном стадии выветривания. Обогащение современного аллювия металлом происходит и за счет перемыва залывов более древних террас. Последние уничтожаются боковой эрозией и сохранились только на отдельных участках речных долин, преимущественно в нижнем течении.

П О Л Е З Н Ы Е И С К О П АЕМЫЕ

Поисковая изученность территории невысокая. Здесь в масштабе 1:200 000, местами 1:100 000, осуществлено широкое и металлогеологическое оробование аллювиальных отложений гидросети. При геологогеометрических работах масштабе 1:200 000 на ряде ограниченных по пло-

щали участков с признаками рудной минерализации выполнен небольшой объем ломжевых работ (маршрут, канавы, металлоискательское просканирование склоновых отложений и др.). Кроме того, в разное время были проведены поиски россыпных месторождений золота. В результате всех этих работ установлены проявления железа, золота, свинца, споди-мусковита и других полезных ископаемых.

Сведения о полезных ископаемых даны на карте по состоянию на 1 января 1972 г.

МЕТАЛЛИЧЕСКИЕ ИСКОПАЕМЫЕ

Ч Е Р Н И Е М Е Т А Л Л И

Железо

На правобережье Ульянина (I-4-I) зарегистрирована аэромагнитная аномалия протяженностью 4 км в изолинии 4800 гамм. Экстремальное значение около 10 000 гамм. Аномальные значения магнитного поля вызваны архейскими магнетитсодержащими пироксенитами. Ширина выхода их на дневную поверхность около 100 м. Распределение магнетита равномерное. Содержание железа не превышает 12-13%.

В верховьях Ульянина (I-4-I, I-4-2) и на левобережье руч. Курумкан (I-3-3) среди архейских метаморфических образований в левобережии найдены единичные глыбы магнетитовых амфиболитов и магнетитовых гранат-тремолит-каварцевых сланцев. Во всех случаях содержание магнетита по эпизуальной оценке составляет 40-50%. По результатам химического анализа штуков содержание железа в магнетитовых амфиболитах достигает 38-39%. Проявления не изучены, очевидно, параметры их неизначительны, поскольку они не зафиксированы зонами магнитной съемкой. На проявлении Курумкан ганемами, пройденными по линии через 20 м, руды в коренном залегании не обнаружены.

Проявление магнетитовых руд известно и в связи с нижнепротерозойскими метаморфическими образованиями. На водоразделе Ульянин - руч. Столбенский (I-2-2) среди гранат-биотитовых гнейсов Нерудинской свиты установлены магнетитовые кварциты с содержанием магнетита 17-30%. Судя по левобережью, магнетитовые кварциты слагают непротяженную (до 15 м) линзу мощностью 1 м.

Незначительные параметры проявленной железы и низкое содержание полезного компонента позволяют дать им отрицательную оценку.

Ц В О Т Н И Е М Е Т А Л Л И

Свинец

На правобережье Ульянина, в 5 км выше устья руч. Соловьевского (I-1-I) распространены раннечеловеческие (?) гранодиориты, прорванные многочисленными дайками гранодиорит-порфиров, гранит-порфиров и диоритовых порфиров. В гранодиоритах проходит разлом почти широтного направления, который выражен здесь двумя субпараллельными зонами катаклизированных пород общей шириной около 50 м. К западу и востоку зона быстро сужается до 2-10 м. В этой зоне гранодиориты и дайковые породы интенсивно обожжены, сульфидизированы (пирит, галеник, сфalerит), реже окварцированы. В штуфах из окварцированных сульфидизированных пород, по результатам спектрального анализа, содержится синоп (0,01-0,02%) и пинк (0,01-0,05%). Кроме того, в ряде штуфов установлено золото (0,01-0,1 г/т) и серебро (0,0001-0,0003%).

В бассейне руч. Аномального (I-2-I) на площади около 600 м² среди развалов сланцев-блестомиллитов найдены глыбы размером до 0,3 м сильно трещиноватого вышелоченного кварца с содержанием синопа 0,05%, мели 0,02%, серебра 0,001%.

Шлиховым опробованием знаки галенита установлены в единичных пробах, отобранных в бассейне руч. Мурила. Значительно чаще синоп фиксируется в пробах линзовых осадков в количествах, близких к клярковым (0,001-0,003%). Большинство этих проб пространственно относится к зонам Ульянинского, Нижне-Ульянинского и других крупных разломов.

Синк

В верховьях р. Ульянин (I-2-I) в небольшом (300x400 м) тектоническом блоке среди метаморфических образований нижнего протерозоя сохранились архейские брекции и лавобрекции андезитов лежащих свит, прорванные дайками гранит-порфиров. Разломы, огра-ничивающие блок вулканитов, выражены зонами дробления, местами обкоренных, пиритизированных, иногда окварцированных пород шириной до 50 м. Наиболее интенсивная пиритизация отмечается в катаклизированных эруптивных брекциях, нередко количество пирита достигает

в них 10-20% при ширине зон до 20 м. Однако содержание цинка в этих породах не превышает 0,01-0,02%.

В южной части блока вскрывается лампа катализированных гранит-порфиров. Простирание ее северо-восточное (20-30°), мощность около 1 м. Гранит-порфир обожжен, с вкрапленностью пирита и сфalerита. В штуфах этих пород содержатся цинк (1-3%), медь (0,03-0,2%), серебро (0,0005%), кадмий (0,03%) и золото (0,03 г/т). Гранит-порфир по простиранию не прослежены, так как с севера и юга перекрыты аллювием.

Блочь Ульяновского разлома в бассейне р. Мурила и в верховых руч. Соломенного невысокие (0,007-0;03%) содержания цинка установлены в пробах донных осадков. В концентрированных осадках гидрохимических проб, отобранных в верховых р. Аюя, по рекам Балагачан, Егоконга и в истоках руч. Соломенного, цинк содержится в количестве 0,01-0,03%. В бассейне всех этих водотоков в катализированных, притягиванных породах фиксируются незначительное (0,03-0,1%) количество цинка.

Алюминий

Проявления алюминия (I-I-I,2) установлены в северо-западной части района. Силикатные кристаллические сланцы образуют главные линзы и пласты в разрезе тынакской свиты. Мощность их разно 2-3, редко до 5 м. По простиранию они не прослежены. Содержание силикатного непостоянного и изменяется от 25-50 до 95-97%.

Р е л к и е м е т а л л и р а с - с о я н и и е з л е м е н т и

Мolibден

По правому берегу долины р. Мурила (I-4-7) среди диафторированных архейских гнейсов залегают небольшие линзы белых диопсид-содержащих кальцифоров. В одной из них, размером 0,8x0,5 м, содержится редкая рассеянная вкрапленность крупнослойчатого (1-3 мм) молибдита. Содержание молибдена низкое - 0,02%.

В верховье Тулькана (I-4-4) в доломитовых сланцах встречаются отдельные группы раннемеловых (?) гранодиоритов с редкими тонки-

ми (до 1-3 см) кварцевыми прожилками, несущими вкрапленность молибдита, пирита и шеелита. Диафторимальные (околорудные) изменения в гранодиоритах не проявлены. Содержание молибдена в штуфах разно 0,1%, волнистого 0,01%.

В верховых ручьев Соломенного и Аномального (I-2-2), в зоне Ульяновского разлома, по данным опробования донных осадков, локализован ореол рассеяния молибдена на площади около 20 км². Молибден в количестве 0,0005-0,003% обнаружен в 25 пробах из 33. Источником выноса, очевидно, являются рассланчевые породы, содержащие до 0,003% молибдена.

Молибдит в незначительном (I-2 знак) количестве застрирован в 81 шлихтовой пробе. Большая часть этих шлихтов пространственно тяготеет к раннемеловым (?) гранитам.

Волнистый

Минералогическим анализом шеелит установлен в большинстве шлихтовых проб, но шлихтовые ореолы рассеяния оконтурены только на двух участках. В бассейне Сатмы (I-3-1) на площади около 20 км², где распространены архейские образования, прорваные раннемеловыми гранитами, шеелит в количестве до 10 знаков обнаружен в 34 пробах. Здесь также встречаются молибдент, золото и киноварь. Ореол рассеяния в бассейнах Егоконги и Эгушки (I-1-1) пространственно совпадает с диафторированными архейскими образованиями, прорванными раннепротерозойскими лейкократовыми и лавусидлями гранитами. Содержание шеелита в 88 пробах изменяется от 10 зерен до 10 мг на 0,01 м³ промежуточной породы. Совместно с шеелитом часто встречается монакит.

Редкие земли

В верховых руч. Аномального выявлено четыре проявления редких земель (I-2-5,6,7,8). Эти проявления однотипны и представляют собой гнейдообразные обособления архейских кварц-микроклиновых метасоматитов размером от 0,3x0,5 до 5x2 м, которые четко устана- ливаются и оконтуриваются по повышенной радиоактивности. В метасоматитах отмечаются ортит, бурый циркон и торит. Спектральным

анализом в метасоматитах установлены лантан ($0,01$ – $0,02\%$), церий ($0,02$ – $0,5\%$), редко гафний (до $0,02\%$), а также цирконий ($0,05$ – $0,5\%$) и торий ($0,02$ – 1%).

На правобережье Сатмы (П-3-2) среди рассланцованных рогово-османтовых гнейсов залегает согласная жила архейских палинено-метасоматических вулканических гранитов мощностью около 20 см. По данным спектрального анализа, в гранитах содержится лантан ($0,05\%$), церий ($0,5\%$), гафний ($0,03\%$) и цирконий ($0,5\%$).

Ртуть.

Единичные залежи киновари установлены в 54 шлифовых пробах, отобранных из днищия рек Курумкан, Мурзак, Мус, Гаента и небольших правых притоков Учи. Киноварь пространственно ассоциирует с золотом. Практическое значение проявлений ртути неясно.

Благородные металлы

Золото

На территории известны проявления рудного золота, непримыкающие к месторождению россыпного золота, а также ореолы рассеянных залежей этого металла.

Проявление Западное (ГУ-1-1) приурочено к Нижне-Ульянскому разрезу, залог которого архейские блотитовые гнейсы, кристаллические сланцы и амфиболиты в зоне шириной около 2 км рассланцованны и диафторированы. Простирание зоны изменяется с широтного на северо-восточное, падение к северу под углом 25–30°. В пределах зоны породы изменены перекристаллизовано. В высшем боку ее в полосе шириной 300–700 м они превращены в альбит-карбонат-серпентитовые, альбит-карбонат-хлоритовые и хлоритовые сланцы – блокстомититы фаации зеленых сланцев. Алевигитные породы есть и в лежачем склоне зоны, где ширина выхода их достигает 150 м.

Лучше изучены блокстомититы со стороны висячего склона зоны. В западной части участка они почти на всю мощность вскрыты карьером длиной 250 м, в дальнее к востоку просложены маршурами, маркетометрической и электроразведкой методом ЕЛ на 4 км. С флангов зоны не оконтурена. Среди лимонитизированных, пиритизированных и участ-

ками окварцованных сланцев залегают восемь пластов кварцитов с граубитом и сердолитом. Мощность пластов изменяется от 0,5 до 5 м, расстояние между ними колебается от 0,4 до 3 м по нормали. Пласты падают на север (0°) под углом 25–30°. Золото отмечается во всех разновидностях пород в количестве от следов до 15 г/т. Повышенное (свыше 1 г/т) содержание золота фиксируется в наиболее измененных сланцах и кварцитах. Ширина выхода этих золотоносных пород достигает 115 м (истинная мощность около 60 м). Среди них выделяются пять интервалов мощностью от 2 до 8 м со средним содержанием золота от 2,2 до 3,92 г/т. Визуально золото наблюдалось только в кварцитах, где содержание его достигает 15 г/т.

Кварциты обладают гранобластовой структурой, тонко-, иногда микрополосчатой текстурой. Они состоят из кварца (85–90%), граубита (10–15%), серцинита (до 1%). Кварц представлен двумя генерациями. Кварц первой генерации образует мелкосернистые гранобластовые агрегаты, с которыми ассоциирует граубит. Более крупные зерна кварца второй генерации (метасоматический) обособляются в прерывистые линзовидные полоски. С этим кварцем ассоциирует золото. Оно образует неправильные, комковатые, реже вытянутые по сланцу-ватости зерна размером от 0,005х0,009 до 0,35 мм (в протоложках золота золота достигают размера 0,02х0,5 мм). Иногда золотники концентрируются в цепочки, согласные со сланцеватостью породы. Совместно с золотом присутствуют пирит (до 1%), лимонит (1%), рутил (до 1%). В золоте обнаружены серебро – 10%, мель – 0,0005%, титан – 0,1%, кальций – 0,02%, следы алюминия, магния, железа, марганца.

В 100 м к востоку от рассмотренного пересечения с целью золотника вновь ЕЛ (-250 м) была проходена канава, вскрывшая верхнюю часть зоны шириной 30 м. Здесь она также представлена сланцами-блокстомититами и граубитистыми кварцитами. Золото содержится по всему пересечению в количестве от 0,2 до 68,5 г/т. Выделенный интервал мощностью 1,2 м со средним содержанием золота 30,4 г/т.

Проявление Западное изучено недостаточно, для его оценки требуется дополнительные детальные исследования. При этом, по-видимому, следует ориентироваться на месторождения с большими запасами белых руд.

Россыпные месторождения золота сформировались в однотипной геолого-геоморфологической обстановке и обладают схожими чертами строения. Они приурочены к Ульянскому и Нижне-Ульянскому разломам, вдоль которых архейские образования рассланцованны и диаф-

торированы. В большинстве россыпей эти образования гидротермально изменены — окварцированы, серпентинизированы, суперфилинированы, содержит также прожилки и линзы кварца. Участки долин, где установлены россыпи, слабо террасированы. Продольный профиль долин ступенчатый. Золото чаще накапливается ниже ступеней (эрозионных уступов), образованных слабо расчлененными или массивными интрузиями породами и дайками. Алевитовые отложения плохо сортированы.

Мощность их равна 3,5–4, редко 5 м.

Золото распределено неравномерно. За исключением верхней части алевитов, представленной чаше всего иловатым материалом, места отмечаются по земле разрезу. Наиболее обогащены нижние слои алевитов и неровности потока, образованного расслоившимися, диафторированными гнейсами и амфиболитами. Сланцеватость обычно под углом ориентирована к основному направлению долины. Золото слабо окатанное и накатанное, встречается и в сростках с кварцем, что, очевидно, может указывать на незначительный перенос материала и объясняет неравномерное распределение его в алевитах. Золотистые пласти не сформированы. Выделены они только по данным опробования и не имеют геологических границ. Значительная часть золота крупная. Вес отдельных золотин достигал 3,5 г.

Россыпи изучены недостаточно, поэтому приведенные в табл. 2

основные параметры их в ряде случаев ориентировочные.

Суммарные ориентировочные запасы этих россыпей, по В.В.Фролову, составляют около 560 кг. В.В.Фролов [35] предполагает, что количество золота в россыпях может на 25–30% превышать приведенную оценку за счет крупного золота, не учтенного при определении среднего содержания в песках. Это предположение не имеет хорошо аргументированного обоснования. Напротив, в середине 30-х годов на наиболее изученном Курумканском месторождении была проведена пробная эксплуатация. Вместо ожидаемых 8 г/м³ (среднее по блоку) было получено 1 г/м³ [35].

Шлиховым опробованием золото в количестве от единичных зандров до весовых количеств установлено в алевитах золотосодержащих участках гидротермально измененных (окварцированных, серпентинизированных) и несущих сульфидную (пирит, халькопирит, галенит и др.) минерализацию. Совместно с золотом в алевитах встречаются шеелит, ки-

Таблица 2

Индекс клетки на карте	Номер месторождения по карте	Название россыпи (водотока)	Длина россыпи, м	Параметры пласта, м			Мощность торфов, м	Среднее содержание золота (г/м ³ песков)	Запасы металла, кг
				длина	средняя ширина	средняя мощность			
I-3	4	руч. Курумкан	6000	1720	24,7	0,40	2,97	3,8II	64,5
II-4	2	р. Удахын	500	500	40,0	0,50	—	4,100	41,0
I-4	8	руч. Три Бродыги	2000	2000	80,0	0,40	2,40	2,140	136,9
I-4	6	р. Правая Муриля	500	500	40,0	0,40	—	3,680	29,4
I-4	5	р. Муриля	4100	4100	20,0	0,28	2,2I	2,123	48,8
III-2	2	р. Колбокан	6000	6000	80,0	1,15	3,7	0,419	238,0

Ноэль, реже молибденит и галенит. Непосредственно на площади этих ореолов расположены золотоносные россыпи района, за исключением россыпи р.Кольбокан.

В аналогичной геологической обстановке из золот ореол рассеяния в верховых руч.Аномального (I-2-4). Площадь ореола около 7 км². Золото обнаружено в 4 пробах из 6 в знаковых содержаниях и в одном случае - в весовых (300 мг/м³) количествах. В шликах присутствуют шеелит и торит.

Ореол рассеяния в нижнем течении руч.Аномального (I-2-3) имеет площадь порядка 9 км², где отобрано 22 пробы. Золото установлено в 13 шликах преимущественно в весовых количествах. Здесь распространены нижнепротерозойские метаморфические образования, и только в восточной части ореола обнаруживаются архейские диафторированные породы с сульфидной, преимущественно пиритовой минерализацией. С целью оценки перспектив этого ореола в долине р.Ульянан, ниже и выше устья руч.Аномального было пробурено по одному поисковому профилю. Золото в скважинах не обнаружено [27].

Ореол рассеяния в бассейне руч.Соломенного (П-2-3) локализован на площади 36 км². Единичные знаки золота установлены в 12 шликах. Совместно с золотом встречается шеелит. На этом участке раннемеловые и раннепротерозойские интрузивные образования по тектоническому контакту граничат с архейскими драфтогородованными рассланцованными породами. В приструйской части долины руч.Соломенного была пробурена одна поисковая линия. Золото в скважинах не зафиксировано [27].

По р.Ульянан, ниже устья руч.Соломенного (П-2-4) оконтурен компактный ореол рассеяния золота. Это собственно поток рассеяния, поскольку долины притоков не золотоносны. Площадь ореола 12 км². Золото в пробах содержит преимущественно в весовых количествах. Совместно с ним встречаются шеелит и молибденит. Протрансвертально ореол прикреплен к раннепротерозойским метаморфическим и интрузивным образованиям. Ниже по течению реки возле ореола обнаруживаются раннемеловые (?) гранодиориты, прорваные дайками гранит-порфиров. Гранодиориты местами пиритизированы и окварчированы. В штуфах этих пород отмечается незначительное (0,1 г/т) содержание золота.

Ореол рассеяния на левобережье Ульянна (П-4-3) локализован на площади порядка 140 км². Золото установлено в 42 пробах в количестве не более 10 зерен на шлик. Совместно с золотом встречаются киноварь, молибденит, реже галенит. На этом участке распространены архейские драфтогородованные породы, прорваные раннепро-

терозойскими двуслюдянными гранитами и раннемеловыми гранитоидами. Отмечаются лавки гранодиорит-порфиров и диоритовых порфиров. На отдельных участках, размеры которых не определены, встречаются пиритизированные диафториты, реже молодые интрузивные породы.

Ореол рассеяния по р.Кольбокан (Ш-2-2), имеет площадь около 30 км². Единичные знаки золота отмечены в 17 пробах. Сопутствующим минералом является шеелит. В бассейне Кольбокана распространены раннемеловые (?) гранодиориты и лейкократовые граниты, прорванные эфузивами джелонской свиты. В верховых реки известны дистигородированные породы архея. Все эти образования покрыты территориальными отложениями боконской свиты.

В низовьях р.Ампар среди раннемеловых гранитоидов выявлен небольшой (площадью около 7 км²) ореол рассеяния (Ш-3-1) с немногими, преимущественно знаковыми содержаниями золота. В среднем течении реки, по данным опробования донных осадков, локализован ореол рассеяния (П-3-2) площадью порядка 6 км². Золото обнаружено в 4 пробах в количестве от 0,02 до 1 г/т.

Поисковым буремием золото в основной долине р.Ампар не установлено. По ее левый составляющей также бурились поисковые скважины. Из 28 выработок золото обнаружено только в двух. В одной - это знаки, а во второй - 751 мг/м³ на пласт мощностью 0,5 м (130,1 мг/м³ на массу мощностью 4 м).

Ореол рассеяния по р.Эштата (Ш-4-1) приурочен к контакту вулканитов джалонской свиты с раннемеловыми гранитоидами. Месторождение контактирует между ними тектонический. Бл洛克 разлома, а также в роговиках отмечается сульфидная (преимущественно пирит) минерализация. В южной части ореола распространены песчаники боконской свиты. Содержание золота в шликах не превышает 10 знаков.

В долине р.Ульянка, в 7 км ниже устья Эштата, где еще В.В.Фроловым [35] отмечалось крупное косовое золото (0,8 г/м³), был прорублен поисковый профиль с расстоянием между скважинами 40 м.Здесь золото рассеяно по всему разрезу аллювия. По линии, проходящей в 12 км ниже устья Эштата, на пиготике, образованном плитчатыми песчаниками боконской свиты, выделяется пласт шириной 170 м, мощность 1 м, со средним содержанием золота 57,2 мг/м³ песков (максимальное 128,9 мг/м³). Содержание на массу мощностью 6 м составляет 10 мг/м³ [27].

Ореол рассеяния в бассейне р.Эльбадекит (Ш-4-2). На площади около 320 км² золото установлено в количестве до 10 знаков установлено в 74 пробах. В долине Эльбадекита в 5,4 км от устья скважина пробурена поисковая буровая линия с интервалом между скважинами 40 м. Выделяются два пласта. Нижний пласт, залегающий на глуби-

шире 6-7 м непосредственно на плотине, имеет ширину 240 м, средняя мощность 1,08 м со средним содержанием золота 48,5 $\text{мт}/\text{м}^3$ (13,6 $\text{мт}/\text{м}^3$ массы). Второй пласт установлен на глубине 3,5-4 м.

Ширина его 160 м, средняя мощность 0,5 м, содержание золота от 49,2 до 91,8 $\text{мт}/\text{м}^3$ массы (среднее 68 $\text{мт}/\text{м}^3$). Золото пластиначатое, небокантовое, размером от 0,1x0,2 до 0,1x0,6 мм.

Еще одна линия была пройдена по правому приотку р.Эльбадекит. Здесь золото рассеяно по всему аллювию в количестве от единичных знаков до 705,7 $\text{мт}/\text{м}^3$ на проходку 0,5 м. У правого борта выделяется пластина шириной до 80 м, мощностью 1 м со средним содержанием золота 129 $\text{мт}/\text{м}^3$.

Ореол рассеяния в Межкурье Улкан-Ула (ГУ-2-1) такжеложен в пределах распространения отложений боконской свиты. На площади 170 км^2 золото установлено в 58 пробах в количестве до 10 знаков и только в двух шликах, отмеченных из аллювия р.Улкан, в весовых количествах. На площади этого ореола в долине р.Улкан по одной линии через 20-40 м были пробурены поисковые скважины. На плотине или на слое палечников с глинистой примазкой на глубине 3-4,5 м выделяется золотоносный пласт, состоящий из трех струй. Самая широкая (до 250 м) расположена с правой стороны долины. Здесь мощность пластины изменяется от 0,5 до 1,5 м (средняя 0,7 м). Содержание золота непостоянное — от 22 до 345 $\text{мт}/\text{м}^3$, среднее на массу составляет 59 $\text{мт}/\text{м}^3$. В скважинах, пройденных выше по течению уже за пределами ореола, низкое (чаще знаковое) содержание золота отмечается по всему разрезу аллювия.

Ореол рассеяния в нижнем течении рек Мус и Генга (ГУ-1-2) не оконтурен и распространяется на соседнюю территорию. Содержание золота в шликах невысокое, не более 10 знаков. Почти во всех пробах установлены единичные знаки кимонари, которая, очевидно, состояла с рудоносных участков Ланского хребта. На площади ореола расположены четвертичные аллювиальные отложения, из-под которых выходит терригенные породы боконской свиты. Возможно, золото в современный аллювий поступило за счет перемыча древнего аллювия р.Улы.

НЕМЕТАЛЛИЧЕСКИЕ ИСКОПАЕМЫЕ

ПРОЧИЕ НЕМЕТАЛЛИЧЕСКИЕ ИСКОПАЕМЫЕ

Сложа

В береговых отложениях р.Кукур (Г-3-1) на протяжении 1 км среди рассланцованных архейских образований зафиксировано около 20 жил мусковитоносных пегматитов. Залегают они согласно с расщленением вмещающих пород (запад падение 0-20°, угол 40-45°).

Мощность жил варьирует от 10 см до 1 м, редко встречаются жили мощностью 2-3 м. Пегматиты крупно- до гигантозернистых, сплетло-серые, иногда розовые, микроклиновые. Присобластают жили с мелкочешуйчатым мусковитом, содержание которого достигает 10-15%. Деформированные кристаллы мусковита размером от 3-4 до 20-50 см^2 наблюдались только в пяти жилах. Содержание их не превышает 1-3%.

В левом борту долины р.Токун (Г-4-3) была найдена глыба светло-серого мусковитового пегматита. Мусковит мелкочешуйчатый, но отдельные слабо деформированные кристаллы имеют площадь до 80 см^2 при толщине 5 см. Канавами вскрыто 5 жил мощностью 10-20 см. Две из них содержат биотит, одна — мелкочешуйчатый мусковит и две — единичные кристаллы темного тремолинового мусковита площадью до 8 см^2 и толщиной 1-1,5 см.

Разрозненные маломощные (0,1-0,5 м, редко больше) согласные и секущие пегматитовые жили с мелкочешуйчатым темным тремолиновым мусковитом наблюдались среди протерозойских метаморфических и интрузивных образований в бассейне Эльги и других местах района.

СТРОИТЕЛЬНЫЕ МАТЕРИАЛЫ

В пределах рассматриваемого района и на прилегающих территориях специализированным изучением горных пород как строительных материалов не занимались. Специальные испытания не проводились. Все же раннепротерозойские и мезосейские граниты, гранодиориты и кварцевые диориты могут быть использованы в качестве бутового и,

по-видимому, строительного камня. Галечники, слагающие косы, острова и террасы рек, пригодны для дорожного строительства. Особенно крупные скопления этих образований имеются в долине Уды и в нижнем течении Ульяна и Ульчана.

В разрезах четвертичных отложений довольно широко распространены пески, среди которых могут быть выявлены разности, пригодные для изготовления строительных растворов и бетона. Сырье для получения строительного кирпича, вероятно, могут служить четвертичные глины и суглинки. Они имеют ограниченное распространение, поэтому на организацию производства кирпича в крупных масштабах рассчитывать не следует.

В качестве сырья для получения строительной известки можно использовать мраморы, линзы и пласты которых установлены в разрезах архайских и нижнепротерозойских образований в бассейнах Муромля и Эльга.

ПОДЗЕМНЫЕ ВОДЫ

Существенное влияние на гидрологические условия района оказывает широко распространенная многослойная мерзлота. Глубина залегания ее кровли изменяется от 0,2-0,5 м на склонах северной экспозиции до 2-5 м на южных склонах. Мощность кризозы неизвестна. Восточнее она меняется от 3-8 до 35-40 м [37], а далее достигает 75-100 м [19].

В зависимости от характера золовмещающих пород и условий циркуляции подземных вод выделяются: пластово-поровые воды элювиально-делювиальных отложений; пластово-поровые воды аллювиальных четвертичных отложений; трещинные и пластово-трещинные воды иные меловые отложения Боконской свиты; трещинные воды верхнекристаллического фундамента и нижнemеловых вулканитов Леженской свиты и трещинные воды мезолита обуславливает развитие надмерзлотных, подмерзлотных подземных вод и вод таликоных участков.

Водоносный горизонт спорадического распространения в элювиально-делювиальных отложениях приурочен к деятельному слою. Водоемающие породы представлены щебенистыми суглинками, суглинками и дресвой мощностью от 0,2-0,5 до 2-5 м. Водоупором является верхняя поверхность многоглетниковых грунтов. Изменение водоносного горизонта происходит за счет атмосферных осадков. Направление по-

тока ветра связана с общим уклоном местности. Выходы вод на поверхность приурочены к долинам рек, к подножиям или перегибам склонов. Ледниковые родники составляют 0,1-0,3 л/с. Воды обычно прозрачные, без запаха, но иногда имеют бурый цвет, неприятный вкус и характерный землистый запах.

Водоносный комплекс аллювиальных четвертичных отложений особенно распространен в долине Уды и в нижнем течении ее крупных притоков. Песчано-гравийно-галечниковые отложения поймы и надпойменных террас образуют единый водоносный комплекс. Питание его проходит за счет атмосферных осадков, поверхностных водотоков и потока вод из других водоносных комплексов.

Характер рельефа в долине р.Уды, большая мощность и широкое распространение аллювиальных отложений позволяют накапливаться значительным запасам подземных вод. Разгрузка вод аллювиальных террас скрыто происходит в реки, и лишь при глубоком залегании встречаются родники с дебитом отдельных струй от 0,01 до 0,2 л/с. Примущественно грунтовой гранулометрический состав аллювия должен обеспечивать сравнительно хорошую водоподачу. Коэффициент фильтрации, определенный в низовых Уды для подобных отложений, равен 120 м/сут для низкой и высокой поймы и от 0,5 до 65 м/сут для верхнечетвертичных отложений [37].

Водоносный комплекс нижнemеловых отложений Боконской свиты развит в придолинной части р.Уды. Итогологический состав свиты (континентальный, песчаники), интенсивная трещиноватость пород в зоне выветривания обуславливает их значительную водообильность, способствует, вероятно, гидравлической связи приповерхностных и глубоких горизонтов свиты. Сосредоточенные выходы подземных вод приурочены к трещинам и сортам расщелин. Родники существуют даже в засушливое время, хотя дебиты их довольно резко снижаются. Дебиты отдельных родников равны 0,1-0,3 л/с. В дождливые периоды срываются делювиальных щебенистых суглинков, перекрывающих отложения свиты, наблюдались восходящие источники с дебитом до 2 л/с (трещинные воды). Синклинальная структура свиты, преобладание в ее составе трещиноватых грубообломочных пород, обладающих хорошими инфильтрационными свойствами, позволяет предполагать существование на глубинах (в центральной части синклинальной структуры) артезианских вод со значительными запасами.

Водоносный комплекс верхнеорских-нижнemеловых вулканитов Леженской свиты приурочен к андезитам, дацитам, их туфам и лавобреккам, турбелестиникам, песчаникам и алевролитам, сохранившимися на отдельных сравнительно небольших участках. Эфузивы рассечены бес-

порядочно ориентированными трещинами, по которым с разной интенсивностью идет выветривание пород. Глубина распространения региональной экзогенной трещиноватости омзака к 50-60 м [37]. Трещины преимущественно крутопадающие, открытое, шириной 0,1-0,5 см.

В верхней более трещиноватой части развиты трещинные зоны открытые и лишь в зонах тектонических разрывов можно ожидать более высокую обводненность.

Водонесный комплекс кристаллического фундамента, сложенного архейскими и нижнепротерозойскими гнейсами и кристаллическими сланцами, разновозрастными интрузиями породами основного и кислого состава, приурочен к верхней трещине этой зоны, распространенной до глубины 50-60 м. Верхняя зона часто сильно разрушена. Мощность таких зон линзогенерации достигает 20 м. Большее значение на водоносность пород кристаллического фундамента оказывает трещиноватость, связанная с тектоническими разломами. В районе установлены крупные разломы, часто сопряженные, склонного строения, протягивающиеся на десятки и более километров. Мощность зон расщленцованных и сильно трещиноватых пород в связи с этими разломами достигает нескольких километров. Такие зоны способствуют интенсивной циркуляции в них подземных вод. Встреченные родники относятся к низкодебитным, сособреточенным, реже рассредоточенным. Они обычно приурочены к подножиям склонов. Наблюдавшиеся дебиты не превышают 0,2 л/с.

Минерализация подземных вод всех водонесных комплексов очень низкая ($24-45 \text{ мг/л}$). Они ультрапресные, слабокислые ($\text{pH} = 5,5-6,5$), гидрокарбонатные кальциевые и кальциево-магниевые с незначительным содержанием ионов натрия ($0,6-1,0 \text{ мг/л}$). Характерно отсутствие ионов хлора и сульфат-иона, независимо от состава и генезиса водовмещающих пород. Кationный состав различа крайне незначительна. В водах верхнекорских-нижнегорских эфузионов несколько больше катионов натрия ($1-2 \text{ мг/л}$). Но в общем по химизму подземные воды различных водонесных комплексов практически не отличаются, что, по-видимому, обусловлено одинаковыми условиями питания и влиянием многолетней мерзлоты.

В качестве источников для водообогащения наиболее перспективными представляются водонесные комплексы в аллювиальных четвертич-

ных отложениях, особенно низкой и высокой поймы, в нижнемеловых отложений боконской свиты, а также трещинные воды крупных (Ульянского и др.) разломов.

О Ц Е Н К А П Е Р С П Е К Т И В Р А Й О Н А

Геолого-структурная позиция, масштабы и тип выявленных проявлений полезных ископаемых позволяют выделить следующие соображения по дальнейшему направлению поисковых работ.

1. Профилирующим элементом в районе является золото. Известные россыпи, большинство ореолов рассеяния ирудопроявление золота расположены в краевой части Чагарского глыбового пояса и приурочены к Ульянскому и Нижне-Ульянскому разломам, сопровождаемым минеральными зонами рассланцеванных и диафторитованных архейских образований. Волнистые известняки россыпей диафториты гидротермально изменены (окварцованны, серпилицированы, сульфицированы, реже хлоритизированы) и в них иногда отмечаются нильские содер-жания золота [36]. Все это позволяет предположить связь золота с зонами рассланцевания и диафтореза. Эту точку зрения для Становой зоны еще в 1935 г. высказал Л.С.Коржинский [6]. Несколько ранее В.И.Сорокухов [32] писал, что золото в бассейнах рек Ульян и Чагар связано с серпилицитами, хлоритовыми сланцами, эпилозитами и другими породами, возникшими при изменении гнейсов под воздей-ствием ручьев их гранитов. По сути своей это мнение совпадает с высказыванием Л.С.Коржинского. Но только с диафторическими преобразованиями (ретрессивным метаморфизмом) связывать золото, по-видимому, не следует. Ведь там, где установлено золото, всегда отчетливо проявлен наложенный гидротермальный (рудный) процесс. В.В.Фролов [34,36] связывал золото с мезозойскими лейкократовыми гранитами.

Представляется, что золото, во всяком случае основная масса его, генетически связано с мезозойскими интрузиями, а зоны рассланцевания и диафтореза, отличающиеся повышенной проницаемостью, являются рудоконтролирующими структурами. Уже на существующей сорвешено недостаточной стадии изученности очевидно, что золото в пределах рудоконтролирующих структур распределено неравномерно. Рассыпные месторождения и проявления золота отвечают, по-видимому, местам наибольшей концентрации металла. Чем это обусловлено, пока неясно. В порядке предположения можно считать, что золото

концентрируется в местах сочленения (пересечения) зон диафрагмы, имеющих субширотное-северо-восточное простирание, с разрывами северо-западного направления. Аналогичных взглядов придерживался и В.В.Фролов [36].

Поиски рудного золота следует проводить вдоль мощных зон диафрагмы, проходящих в краевой части Чагарского грабенового поднятия, предпочтительно в местах развития гидротермально измененных пород и разломов северо-западного направления. Исходя из этого, можно рекомендовать проведение следующих видов работ (рис.3):

а) детальные поисковые работы м-ба 1:10 000 на рудопоявлениях Западном и в его окрестностях с целью оценки масштабов определения;

б) поисковые работы (маршруты, спектрологометрическая стеканка, поверхностные горные выработки) в бассейнах Мургала и Курукан с целью выявления и оценки коренного источника;

в) геологосъемочные и поисковые работы м-ба 1:50 000 в бассейнах Соломенной, Сатма, Аномальный и на других участках долин Ульхинского и Нижне-Улуканского разломов с целью выявления и оценку пропилитизированных вулканитам Джелонской свиты. Опробование их на золото не производилось, но в измененных залежах отмечается серебро в количестве от 0,0005 до 0,005%. Поскольку в дну горных породах, и не только в диафрагмах, сопутствует серебром приносится золото, не исключено, что и вулканиты могут нести золото минерализацию.

Для образования россыпных месторождений золота в сочетании с другими геоморфологическими условиями благоприятны речные долины или участки долин, размывающие зоны диафрагмы. Поисковые работы на россыпное золото нужно проводить в долинах рек Мургала, Колъбокан, Аномальный, Соломенный, Елжонка, а также в долине Улы, ниже устья минерализации.

2. В бассейне Эльбадекита и в междууречье Ула-Улukan логически связаны шлиховые ореолы рассеяния золота на плоскости распространения отложений боконской свиты. Источник поступления золота в аллювий в данном случае неясен, и выяснение его прихода имеет важное значение. Учитывая возраст золота и палеогеографическое обстановку в раннегелловое время, когда размывались метаморфические и интузивные образования зоны Становик-Джугдукра, следует учитывать вероятность присутствия в отложениях боконской свиты кластогенного золота. Если это предположение, для проверки которого необходимо специальные производственные гео-тектонические исследования,

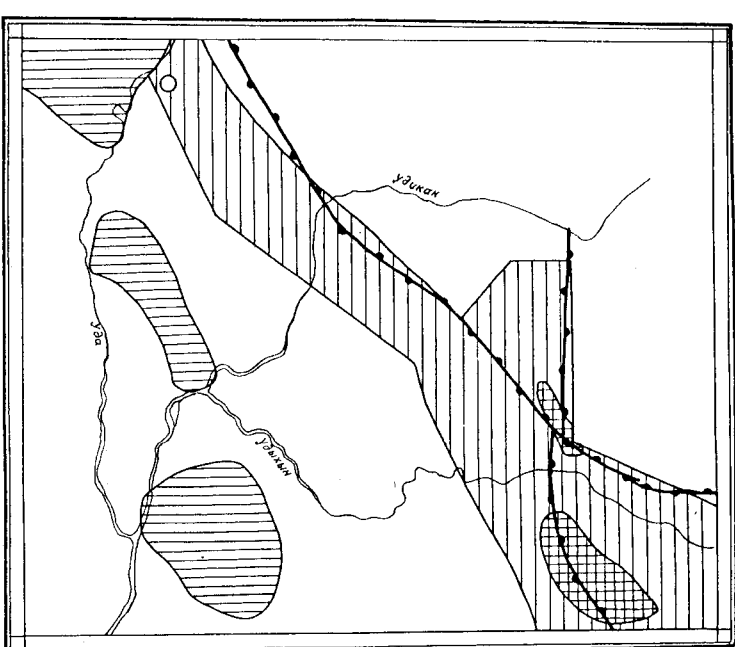


Рис.3. Прогнозная карта листа N-52-ХIII
м-ба 1:500 000

1 - рудоконтролирующие структуры. Перспективные планы, требующие постановки: 2 - детальных поисковых работ м-ба 1:10 000; 3 - поисковых работ с целью выявления и оценки коренных источников золота; 4 - геологосъемочных и поисковых работ м-ба 1:50 000; 5 - поисковых работ на россыпное золото

ползвердится, то в районе появятся реальные перспективы поисков месторождений формации золотоносных конгломератов.

В пределах этих же ореолов в долинах рек Эльбасекит, Баллачан и Бульчут следует провести поиски золотоносных россыпей. В долине р. Эльбасекит был обнаружен один поисковый профиль. В связи с низким (до 100 мг/м³ массы) содержанием золота участку была дана отрицательная оценка [27], но ее нельзя считать обоснованной и окончательной, так как работы проведены в крайне ограниченном объеме.

3. Проявления железа генетически связаны с архейскими основами и ультраосновными породами (магнетит-столбчатые пироксениты). Содержание железа низкое (12–13%). Магнетитовые осадочно-метаморфические рулы (магнетитовые кварциты и амфиболиты) образуют маломощные линзы и прослои среди метаморфических образований архея и нижнего протерозоя. Содержание железа в них не превышает 30%. Низкое содержание железа, не значительные размеры залягань и отсутствие сколько-нибудь существенных ароматитных аномалий не позволяют предполагать в районе крупных железорудных объектов.

4. Проявления синке и цинка, связанные с пиритизированными мезозойскими гранитоидами и афузитами, из-за низких содержаний полезных компонентов оцениваются отрицательно. Что же касается перспектив выявления месторождений скарнового типа, то они весьма ограничены, так как карбонатные породы образуют небольшие линзы и маломощные непротяженные пласты в метаморфических толщах.

5. Проявления молибдена в связи с раннегеологовыми гранитоидами встречаются в Становой области довольно часто. Известны они и на описываемой территории, где залежи незначительных размеров практического интереса не представляют. Вместе с тем в районе имеются некоторые геологические предпосылки (рудоносные интрузии, интенсивная разрывная тектоника и др.), благоприятные для поисков месторождений молибдена. Но в настоящее время, без дополнительных данных, перспективы района в этом отношении неясны.

6. Мусковитоносные пегматиты в районе являются жилыми признаками раннепротерозойских двусиличных гранитов и пегматогранитов. Поэтому для локализации жил литологический фактор (наличие высокоглиноземистых пород) не является определяющим. Большая часть жил залегает среди пегматитированных рассланцованных архейских об разований. Насыщенность жил мусковитом в общем невысокая. Жилое преобладает мелкочешуйчатый мусковит. Крупные кристаллы треплиновата, деформированы и не отвечают существующим требованиям. Очевидно, это обусловлено приверженностью пегматитов к краевой части

чогарского глибового поднятия, где неоднократно проявлялись термохимические явления, которые не могли не сказатьсь на качестве слюды. Учитывая количество и параметры жил, содержание, размеры и качество кристаллов, а также геолого-структурное положение пегматитов, перспективы района на склоне краяне ограничены.

7. В нижнем течении р. Ульхын в отложениях нижней и средней подсвиты боконской свиты встречены малоомощные (5–10 см) линзовидные прослои сурого угля. Боконская свита сформировалась в континентальных условиях и по своим особенностям (никлическое строение, преобразование нетектонических типов слоистости, обильные растительные остатки, наличие углеродоизвлечения) прикладывает или олица к отложению угленосной формации. Однако яное преобразование купено- и грубообломочных пород (русловая фауна) и крайне ограниченное развитие озерно-болотных фаций (торфянников), обусловленное значительной скоростью накопления обломочного материала, свидетельствует о неделеособорности проведения поисков месторождений угля.

ЛИТЕРАТУРА

О П У Б Л И К О В А Н Н А Я

1. БЕЛТЕНЕВ Е.Б., ЛЕВДЕВ Е.А. Новые данные о возрасте вулканогенных образований Западного Приоболья. Докл.АН СССР, сер. геол., т.181, 182, № 2, 1968.

2. ГЛЕБОВИЦКИЙ В.А., ДРУТОВА Г.М., КРЫЛОВА М.Д. и др. Последовательность геологических процессов на южном обрамлении Алданского щита и геохронологические данные. В кн.: Ассоциатный возраст докембрийских формаций СССР. Изд-во Наука, 1965.

3. ДЗЕВАНОВСКИЙ Ю.К. Джулагуро-Становая складчатая область. Геологическое строение СССР, т.3, 1958.

4. ДЗЕВАНОВСКИЙ Ю.К. Геология Западной окраины Станового хребта. Болл. ВСЕГЕИ, № 1, 1958.

5. ДЗЕВАНОВСКИЙ Ю.К., МИРОНЕНКО Е.П., ЛАГДИНА Г.Ю. История геологического развития Алданского щита. В кн.: Тектоника Сибири, т.3. Изд-во Наука, 1970.

6. КОРЖИНСКИЙ Д.С. Пресеченные Станового хребта по Алданскому якутской магистрали и его геологические комплексы. Тр.ЦНИГИ, вып. 41, 1935.
7. КОРЖИНСКИЙ Д.С. Геология архейского комплекса Алданского щита. Тр.ЦНИГИ, вып.86, 1936.
8. КОРЖИНСКИЙ Д.С. Докембрий Алданского щита и хр.Станового. В кн.: Стратиграфия СССР, т.1, изд. АН СССР, 1939.
9. КРАСНЫЙ Л.И. Геология и полезные ископаемые Западного Прихотья. Тр.ВСЕГЕИ, нов.серия, т.33, 1960.
10. КУДРИАШЕВ В.А. О несогласном залегании нижнего протерозоя на архейском фундаменте в Удоканской котловине. Мат-лы по геол. и полезн.ископаемым Якутской АССР, вып.18, 1968.
- II. МЕЛЬНИКОВ Н.Л. Описание Якутской экспедиции (1851 г.) по-коиного горного инженера Н.С.Мелиндикого. Гор.Журнал, т.3. Слб, 1893.
12. МОНКИН В.Н. Нижнепротерозойские образования хребтов Станового и Джульгана, Тр.ВСЕГЕИ, нов.серия, т.59, 1961.
13. МОНКИН В.Н. Нижний протерозой восточной части хр.Станово-го и хр.Джульгана. В кн.: Геология СССР, т.ХIX, 1966.
14. НУЖНОВ С.В. Региональная стратиграфическая шкала протерозойских отложений Алданского щита. Мат-лы по геол. и полезн.ископ. Якутской АССР, вып.18, 1968.
15. САВИНА Т.В. Карта аномального магнитного поля и карта гравийков А Т листа №-52-УЧУ, 1961.
16. СУЛОВИКОВ Н.Г., НЕЕЛОВ А.Н. О возрасте биогенного комп-лекса. Тр.АГЕД АН СССР, вып.12, 1961.
17. СУЛОВИКОВ Н.Г., ПЛЕБОВИЧИК В.А. и др. Геология и петро-логия юного образования Алданского щита. Нац-во Наука, 1965.

Ф о н д о в а я)

18. БЕРНИТЕЙН П.С. Геологический очерк средней части р.Ул., 1937, № 03455.
19. БОТАКОВ Н.М. Гидрогеология Токусского месторождения, 1961, № 3857.
20. БРАГИНСКИЙ С.М. Геологическая карта СССР №-са I:200 000, сер.Чукотская, лист №-53-ХIII. Объяснительная записка, 1967, № 012635.
21. ВАСЬМИН А.Ф. Геологическое строение и полезные ископа-емые бассейнов верхнего течения рек Чан и Чогара (Окончательный отчет Майской партии по геологосъемочным работам №-са I:200 000 за 1966-1969 гг.). 1970, № 014073.
- x) Работы находятся в Дальневосточных геологических фондах.
22. ГОДЗЕВИХ Б.Л., ЕРЕДЕКИН Е.Н., ПОЛОВ В.Н. Геологическое строение и полезные ископаемые бассейна среднего течения р.Чан (Половинной). Окончательный отчет Средне-Макской партии по гео-логосъемочным и поисковым работам №-са I:200 000 в 1966-1969 гг., 1970, № 014090.
23. ГРОХОВСКИЙ К.В. Препаративное состояние горного инже-ра К.В.Гроховского о работах Улско-Охотской поисково-разведочной экспедиции 1911-1912 гг., 1912, № 8350.
24. ГУКОВИН Г.О., ЗАКАЛОЖИН Л.Б. и др. Отчет с результатах аэрапеллонных работ, проведенных в бассейне верхнего течения р.Зеи партией № 31 в 1961 г., 1962, № 09253.
25. ЗЕМЛЯНОВ В.Н., ДУРНАЙКИН Л.П. Отчет о результатах работ Тайканской партии за 1965 г. в бассейне р.Уча и верховых р.Зеи, 1966, № 01639.
26. ЧАРСАКОВ Л.П. и др. Геологическое строение и полезные ис-копаемые бассейнов рек Кулугура и Йучуя. (Окончательный отчет Чуны-ской партии по геологосъемочным работам №-са I:200 000 за 1965-1968 гг.), 1969, № 013622.
27. КУШЕЛЬМАН В.Н. Отчет о результатах поисков россыпных месторождений золота в бассейнах рек Чогара и Ульхица (Верхне-Чогарская и Ульхицкая партии), 1966-1967 гг., 1967, № 012556.
28. МОНКИН В.Н., АЛБОВ Ю.А. и др. Геологическое строение и полезные ископаемые бассейна р.Ульхица и бассейна верхнего тече-ния р.Май (Половинной), 1956, № 05082.
29. МОНКИН В.Н. Докембрый восточной части хр.Станового и южной части хр.Джульгана. Дис. на соиск.учен.степ.канд.геол.-мине-рал.наук, 1962, № 9696.
30. ОНИЖИМОВСКИЙ В.В. ред.Карта структурного районирования Хасаровского края и Амурской области, 1969.
31. СЕРГИУХОВ В.И. Отчет о работах Улско-Охотской экспедиции "Инциветмета", 1980, № 9778.
32. СЕРГИУХОВ В.И. Охотское побережье. Река Ул., 1932, № 03939.
33. ФРОЛОВ В.В. Отчет о геологических исследованиях в запад-ной части бассейна р.Ул., проведенных экспедицией "Гипроволот" в 1941-1942 гг., 1944, № 01986.
34. ФРОЛОВ В.В. Картографический материал по Ульхица-Чогарско-му золотоносному району (приложение к препаративному отчету о поисках и разведке золота в Ульхинском крае в 1942 г.), 1944, № 01988.
35. ФРОЛОВ В.В. Золотоносные районы Ульхинского края, 1944, № 01987.

Приложение I

36. ЧЕЛПИН В.Е., ОРЛОВ В.И., СИТОВ В.Ф., ШАРОВ Л.А. Геоло-

гическое строение и полезные ископаемые бассейнов рек Ульхан и

Удикан (Окончательный отчет по геологосъемочным работам

№-са I:200 000 за 1966-1968 гг., Удиканская партия), 1969,

№ ОГЭ421.

37. ЧЕРНЯВСКИЙ В.И. и др. Геология, полезные воды и полез-

ные ископаемые северо-западного побережья Улской губы,

лист №-53-Х, 1960, № 08960.

Список

непромышленных месторождений, показанных на листе
№-52-ХУШ карты полезных ископаемых №-са I:200 000

Индекс клетки на карте	№ на карте	Вид полезного ископае- мого и наименование месторождений	Ссылка на литературу (номера по списку ли- тературы)	Приме- чание
МЕТАЛЛИЧЕСКИЕ ИСКОПАЕМЫЕ				
		Б л а г о р о д н ы е м е т а л л ы		
		Золото		
I-3	4	руч.Курумкан	31,32,35	Россыпь
I-4	5	р.Мурзия	35	To же
I-4	6	р.Правая Мурзия	35	" "
I-4	8	р.Три Бродяги	35	" "
II-4	2	р.Ульхан	35	" "
III-2	1	р.Кольбокан	35	" "

Приложение 2

Список

проявлений полезных ископаемых, показанных на листе №-52-ХЛ
карты полезных ископаемых №-Са I:200 000

Иногда на кар- те	Номер на кар- те	Вид полезного ис- копаемого и наз- вание (местонахож- дение) проявления	Ссылка на литерату- ру (номе- ра по списку ли- тературы)	Примечание
I	2	3	4	5

МЕТАЛИЧЕСКИЕ ИСКОПАЕМЫЕ

Ч е р н ы е м е т а л л ы

Железо

I-2	2	Левобережье Уди- кана	36	Обломки магнетито- вых квадритов
I-3	3	руч. Курукман	36	Глыбы магнетитовых амфиболитов
I-4	1	руч. Уланы	36	Обломки магнетито- вых гранат-тромо- литикварцевых
I-4	2	Водораздел рек Уды- жны-Мурзиль	36	Глыбы магнетитовых амфиболитов
I-4	1	Правобережье р.Уди- жны	36	Архейские магнетит- содержащие пирок- сениты шириной въ- хода - 100 м

1	2	3	4	5
---	---	---	---	---

И з е т н ы е м е т а л л ы

Свинец

П-1	1	Правобережье Уди- кана	36	Зона дробленных сульфидизированных гранодиоритов с низким (0,02%) со- держанием свинца
П-2	1	Бассейн руч. Аномаль- ного	36	Глыбы скльно трещи- новатого выщелочен- ного кварца

Цинк

I-1	1	Верховье Уланака	36	Линзы силименито- вых кристаллических сланцев
I-1	2	Верховье р.Уланак	36	То же

Р е л к и е м е т а л л ы и р а с -
с е я н н ы е з л е м е н т ы

I-4	7	р.Мурзиль	36	Молибден
П-2	2	Верховье ручьев Ано- мального, Соловенного	36, 27	Небольшие линзы кальциевидных с ред- кой вкрапленностью молибденита Металлогеометрический огород

I	2	3	4	5
II-4	4	р.Тулькичан	36	Глыбы гранодори- тов, рассеченные редкими тонкими кварцевыми прожил- ками с молибденитом
				Вольфрам
II-3	I	р.Сатма Бассейн р.Егюонга	36	Шлиховой ореол To же
III-1	I		36	
				Редкие земли
I-2	5	Верховые руч.Аномаль- ного	36	Пневдообразные осо- босложения кварц- микроклиновых ме- тасоматитов
I-2	6	Верховые руч.Аномаль- ного	36	Пневдообразные обособления кварц- микроклиновых ме- тасоматитов
I-2	7	Верховая руч.Аномаль- ного	36	To же
I-2	8	Верховая руч.Аномаль- ного	36	To же
II-3	2	р.Сатма	36	Жила архейских влиянистовых грани- тов мощностью 20 см
				Благородные металлы
				Золото
I-2	3	Низовая руч.Аномаль- ного	36	Шлиховой ореол
I-2	4	Верховая руч.Аномаль- ного	27	To же
I-3	2	руч.Курумкан	36	" "
I-4	4	Бассейн р.Мурзак	36	" "

I	2	3	4	5
II-2	3	руч.Соломенный	36,27	Шлиховой ореол
II-2	4	р.Улдикан	36	To же
II-3	3	р.Ампар	27	Металлогидрический ореол
				Шлиховой ореол
II-4	3	Девобережье Улжана	36	To же
II-2	2	р.Кольбакан	36	" "
II-3	I	р.Ампар	36,27	" "
II-4	I	р.Этмата	35	" "
II-4	2	р.Эльбасекит	36,27	" "
II-1	I	Западное	36	Зона рассланцованных, участками гидротер- мально измененных ар- хейских гнейсов с плоскими кварцитами, содержащих до 15 г/т золота
				Шлиховой ореол To же
II-1	2	Реки Гасента, Мус Майдурачье, Улдикан-Ула	36,27	
				НЕМЕТАЛЛИЧЕСКИЕ ИСКОПАЕМЫЕ
				Прочие неметаллические искоопаемые
				Сланцы
I-3	3	р.Токун (приток р.Кукур)	36	Жила мусковитоносных пегматитов
I-4	I	р.Кукур	36	To же